







































Podstawowe informacje:			
Nazwa projektu:		BUDOWA INSTALACJI CENTRALNEGO OGRZEWANIA W	
		MAGAZYNIE NR 5	
Adres:		Zalesie Golczowskie	
Miejscowość:		Główna 4	
Projektant:		Piotr Wasiński	
Data obliczeń:		Piątek 15 Stycznia 2021 15:06	
Informacje o typach rur:			
Typ A:	 KAN STEEL	Typ B:	
Typ C:		Typ D:	
Typ E:		Typ F:	
Typ G:		Typ H:	
Typ I:		Typ J:	
Typ K:		Typ L:	
Typ M:		Typ N:	
Typ O:		Typ P:	
Symbol źródła ciepła:		INNE ŹRÓDŁO CIEPŁA CO	
Parametry czynnika grzejnego:			
$\theta_s$ , [°C]:	80,00	$\theta_r$ , [°C]:	60,00
$\theta_{r,r}$ , [°C]:	58,73		
Rodzaj czynnika:	Woda	Stężenie, [%]:	100,0
Informacje o instalacji:			
Całkowity strumień wody w instalacji $M_{inst}$ , [kg/s]:			2,397
Całkowita pojemność instalacji $V_{inst}$ , [l]:			12777
Obliczeniowa moc cieplna instalacji $\Phi_{HL,inst}$ , [W]:			200678
Moc tracona $\Phi_{lost,inst}$ , [W]:			12700
Całkowita moc przekazywana przez instalację $\Phi_{tot,inst}$ , [W]:			213378
Parametry źródła ciepła: INNE ŹRÓDŁO CIEPŁA CO			
$\Delta p_{HS}$ , [Pa]:	128973	$V_{HS}$ , [l]:	10918,0
Wymagane ciśnienie dyspozycyjne w źródle $\Delta p_{disp}$ , [Pa]:			154248
Dodatkowa rezerwa mocy do ładowania bufora $\Phi_{HL,reserve}$ , [W]:			
Obliczeniowa moc cieplna źródła zimą $\Phi_{HL,winter}$ , [W]:			200678
Obliczeniowa moc cieplna źródła latem $\Phi_{HL,summer}$ , [W]:			






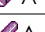


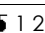




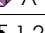




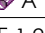









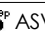

Obliczeniowa moc cieplna źródła w okr. przejściowym $\Phi_{HL,part}$ , [W]:			
Liczba jednocześnie pracujących węzłów mieszk. $N_{FS,sim}$ , [szt.]:			
Statystyka pomieszczeń i grzejników dla źródła: INNE ŹRÓDŁO CIEPŁA CO			
Pomieszczenia ogrzewane:			
Przegrzewane:	0	Nadmiar mocy, [W]:	9468
Niedogrzewane:	0	Deficyt mocy, [W]:	0
Moc grzejna, [W]:	202511	Zyski od przewodów, [W]:	7585
Pomieszczenia nieogrzewane:			
Moc grzejna, [W]:	0	Zyski od przewodów, [W]:	0
Grzejniki:			
Przegrzewające:	10	Nadmiar mocy, [W]:	9449
Niedogrzewające:	0	Deficyt mocy, [W]:	31
Moc obliczeniowa:	200678	Moc rzeczywista, [W]:	202511

Symbol	$\theta_{int,H}$	$\Phi_{HL}$	$\Phi_{HL}$	$\Phi_{HG}$	$\Phi_{HG}$	$\Phi_{r,H}$	$\Phi_{r,H}$	$\Phi_{H,def}$	$\Phi_{H,def}$	Opis
	°C	W	kW	W	kW	W	kW	W	kW	
001	16	16061	16,1	2075	2,1	15413	15,4	-1427	-1,4	Pom. magazynowe
		CV21S-60		Wielkość L = 3,00 m $\Phi_r$ = 3855 W Aut. = 0,24						
		CV21S-60		Wielkość L = 3,00 m $\Phi_r$ = 3852 W Aut. = 0,24						
		CV21S-60		Wielkość L = 3,00 m $\Phi_r$ = 3852 W Aut. = 0,24						
		CV21S-60		Wielkość L = 3,00 m $\Phi_r$ = 3854 W Aut. = 0,24						
002	16	14433	14,4	1421	1,4	14415	14,4	-1403	-1,4	Pom. magazynowe
		CV11-60		Wielkość L = 3,00 m $\Phi_r$ = 2880 W Aut. = 0,20						
		CV11-60		Wielkość L = 3,00 m $\Phi_r$ = 2879 W Aut. = 0,20						
		CV11-60		Wielkość L = 3,00 m $\Phi_r$ = 2887 W Aut. = 0,20						
		CV11-60		Wielkość L = 3,00 m $\Phi_r$ = 2886 W Aut. = 0,20						
		CV11-60		Wielkość L = 3,00 m $\Phi_r$ = 2883 W Aut. = 0,20						
003	16	10962	11,0	656	0,7	11345	11,3	-1039	-1,0	Pom. magazynowe
		CV11-60		Wielkość L = 3,00 m $\Phi_r$ = 2831 W Aut. = 0,26						
		CV11-60		Wielkość L = 3,00 m $\Phi_r$ = 2838 W Aut. = 0,26						
		CV11-60		Wielkość L = 3,00 m $\Phi_r$ = 2835 W Aut. = 0,26						
		CV11-60		Wielkość L = 3,00 m $\Phi_r$ = 2840 W Aut. = 0,26						
004	16	3448	3,4	116	0,1	3485	3,5	-153	-0,2	Klatka schodowa 16
		CV33-60		Wielkość L = 0,80 m $\Phi_r$ = 1769 W Aut. = 0,51						
		CV11-60		Wielkość L = 1,80 m $\Phi_r$ = 1716 W Aut. = 0,50						
101	16	16181	16,2	593	0,6	16330	16,3	-742	-0,7	Pom. magazynowe
		CV11-60		Wielkość L = 2,00 m $\Phi_r$ = 1940 W Aut. = 0,12						
		CV11-60		Wielkość L = 2,30 m $\Phi_r$ = 2140 W Aut. = 0,13						
		CV11-60		Wielkość L = 2,30 m $\Phi_r$ = 2142 W Aut. = 0,13						
		CV11-60		Wielkość L = 2,00 m $\Phi_r$ = 1942 W Aut. = 0,12						
		CV11-60		Wielkość L = 2,00 m $\Phi_r$ = 1941 W Aut. = 0,12						
		CV11-60		Wielkość L = 2,30 m $\Phi_r$ = 2141 W Aut. = 0,13						
		CV11-60		Wielkość L = 2,30 m $\Phi_r$ = 2141 W Aut. = 0,13						
		CV11-60		Wielkość L = 2,00 m $\Phi_r$ = 1941 W Aut. = 0,12						
102	16	9895	9,9	518	0,5	9837	9,8	-460	-0,5	Pom. magazynowe
		CV21S-60		Wielkość L = 2,60 m $\Phi_r$ = 3282 W Aut. = 0,33						
		CV21S-60		Wielkość L = 2,60 m $\Phi_r$ = 3282 W Aut. = 0,33						
		CV21S-60		Wielkość L = 2,60 m $\Phi_r$ = 3273 W Aut. = 0,33						
103	16	10848	10,8	457	0,5	10914	10,9	-523	-0,5	Pom. magazynowe
		CV11-60		Wielkość L = 2,30 m $\Phi_r$ = 2183 W Aut. = 0,20						
		CV11-60		Wielkość L = 2,30 m $\Phi_r$ = 2170 W Aut. = 0,20						
		CV11-60		Wielkość L = 2,30 m $\Phi_r$ = 2190 W Aut. = 0,20						

Symbol	$\theta_{int,H}$	$\Phi_{HL}$	$\Phi_{HL}$	$\Phi_{HG}$	$\Phi_{HG}$	$\Phi_{r,H}$	$\Phi_{r,H}$	$\Phi_{H,def}$	$\Phi_{H,def}$	Opis
	°C	W	kW	W	kW	W	kW	W	kW	
		CV11-60		Wielkość L = 2,30 m $\Phi_r = 2178$ W Aut. = 0,20						
		CV11-60		Wielkość L = 2,30 m $\Phi_r = 2193$ W Aut. = 0,20						
104	16	13322	13,3	391	0,4	13102	13,1	-172	-0,2	Pom. magazynowe
		CV11-60		Wielkość L = 2,30 m $\Phi_r = 2187$ W Aut. = 0,16						
		CV11-60		Wielkość L = 2,30 m $\Phi_r = 2186$ W Aut. = 0,16						
		CV11-60		Wielkość L = 2,30 m $\Phi_r = 2174$ W Aut. = 0,16						
		CV11-60		Wielkość L = 2,30 m $\Phi_r = 2184$ W Aut. = 0,16						
		CV11-60		Wielkość L = 2,30 m $\Phi_r = 2174$ W Aut. = 0,16						
		CV11-60		Wielkość L = 2,30 m $\Phi_r = 2196$ W Aut. = 0,16						
201	16	105528	105,5	1406	1,4	107671	107,7	-3549	-3,5	Pom. magazynowe
		CV22-60		Wielkość L = 2,60 m $\Phi_r = 4115$ W Aut. = 0,04						
		CV11-90		Wielkość L = 3,00 m $\Phi_r = 3990$ W Aut. = 0,04						
		CV22-60		Wielkość L = 2,60 m $\Phi_r = 4096$ W Aut. = 0,04						
		CV11-90		Wielkość L = 3,00 m $\Phi_r = 3983$ W Aut. = 0,04						
		CV11-90		Wielkość L = 3,00 m $\Phi_r = 4000$ W Aut. = 0,04						
		CV11-90		Wielkość L = 3,00 m $\Phi_r = 3990$ W Aut. = 0,04						
		CV11-90		Wielkość L = 3,00 m $\Phi_r = 3996$ W Aut. = 0,04						
		CV11-90		Wielkość L = 3,00 m $\Phi_r = 3983$ W Aut. = 0,04						
		CV11-90		Wielkość L = 3,00 m $\Phi_r = 3963$ W Aut. = 0,04						
		CV11-90		Wielkość L = 3,00 m $\Phi_r = 3966$ W Aut. = 0,04						
		CV11-90		Wielkość L = 3,00 m $\Phi_r = 3992$ W Aut. = 0,04						
		CV11-90		Wielkość L = 3,00 m $\Phi_r = 3991$ W Aut. = 0,04						
		CV11-90		Wielkość L = 3,00 m $\Phi_r = 3988$ W Aut. = 0,04						
		CV11-90		Wielkość L = 3,00 m $\Phi_r = 3990$ W Aut. = 0,04						
		CV11-90		Wielkość L = 3,00 m $\Phi_r = 3968$ W Aut. = 0,04						
		CV11-90		Wielkość L = 3,00 m $\Phi_r = 3976$ W Aut. = 0,04						
		CV11-90		Wielkość L = 3,00 m $\Phi_r = 3940$ W Aut. = 0,04						
		CV11-90		Wielkość L = 3,00 m $\Phi_r = 3952$ W Aut. = 0,04						
		CV11-90		Wielkość L = 3,00 m $\Phi_r = 3997$ W Aut. = 0,04						
		CV11-90		Wielkość L = 3,00 m $\Phi_r = 4007$ W Aut. = 0,04						
		CV11-90		Wielkość L = 3,00 m $\Phi_r = 3942$ W Aut. = 0,04						
		CV11-90		Wielkość L = 3,00 m $\Phi_r = 3954$ W Aut. = 0,04						
		CV11-90		Wielkość L = 3,00 m $\Phi_r = 3973$ W Aut. = 0,04						
		CV11-90		Wielkość L = 3,00 m $\Phi_r = 3997$ W Aut. = 0,04						
		CV11-90		Wielkość L = 3,00 m $\Phi_r = 3980$ W Aut. = 0,04						
		CV11-90		Wielkość L = 3,00 m $\Phi_r = 3970$ W Aut. = 0,04						










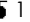

























Symbol	$\theta_{\text{int,H}}$	$\Phi_{\text{HL}}$	$\Phi_{\text{HL}}$	$\Phi_{\text{HG}}$	$\Phi_{\text{HG}}$	$\Phi_{\text{r,H}}$	$\Phi_{\text{r,H}}$	$\Phi_{\text{H,def}}$	$\Phi_{\text{H,def}}$	Opis
	°C	W	kW	W	kW	W	kW	W	kW	
 CV11-90				Wielkość L = 3,00 m $\Phi_r$ = 3973 W Aut. = 0,04						

Typ	Rury	L	Pom.	d <sub>n</sub>	Iz. D <sub>w</sub> ×G	Φ <sub>HL</sub>	Φ <sub>HL</sub>	PL <sub>C</sub>	M	Q	w	R	R·L	Σζ	Δp	θ <sub>s</sub>	Δθ <sub>r</sub>	V	Stan
dz.		m		mm	mm	W	kW		kg/s	l/min	m/s	Pa/m	Pa		Pa	°C	K	l	
--	 A	3,24	001	35	35x17	22977	23,0	1,000	0,274	16,7	0,35	48	154	0,3	172	58,96	0,04	2,61	—
--	 A	3,24	002	35	35x17	13895	13,9	1,000	0,166	10,1	0,21	20	63	0,3	70	58,79	0,06	2,61	—
--	 A	3,24	002	42	42x22	18285	18,3	1,000	0,218	13,3	0,19	12	40	0,3	45	58,74	0,04	3,87	—
--	 A	3,24	003	35	35x17	12257	12,3	1,000	0,146	8,9	0,19	16	51	1,3	73	58,70	0,07	2,61	—
--	 A	3,24	001	35	35x17	19069	19,1	1,000	0,228	13,9	0,29	34	111	0,3	123	58,95	0,04	2,61	—
--	 A	3,24	002	35	35x17	12839	12,8	1,000	0,153	9,4	0,19	17	55	0,3	61	58,88	0,06	2,61	—
--	 A	3,24	002	35	35x17	9986	10,0	1,000	0,119	7,3	0,15	11	35	0,3	39	58,85	0,08	2,61	—
--	 A	3,24	002	35	35x17	12207	12,2	1,000	0,146	8,9	0,18	16	50	0,3	56	58,83	0,07	2,61	—
--	 A	3,24	001	35	35x17	11862	11,9	1,000	0,142	8,6	0,18	15	48	0,3	53	58,32	0,07	2,61	—
--	 A	4,39	101	35	35x17	7817	7,8	1,000	0,093	5,7	0,12	7	31	0,5	35	58,20	0,14	3,53	—
--	 A	4,39	102	35	35x17	11725	11,7	1,000	0,140	8,5	0,18	14	64	1,0	79	58,92	0,10	3,53	—
--	 A	4,39	102	35	35x17	15634	15,6	1,000	0,187	11,4	0,24	24	106	1,0	133	58,92	0,07	3,53	—
--	 A	4,39	102	35	35x17	11725	11,7	1,000	0,140	8,5	0,18	14	64	0,5	71	58,88	0,10	3,53	—
--	 A	4,39	102	35	35x17	9541	9,5	1,000	0,114	7,0	0,14	10	44	0,5	50	58,83	0,12	3,53	—
--	 A	4,39	103	42	42x22	11725	11,7	1,000	0,140	8,5	0,12	6	25	1,0	32	58,72	0,09	5,24	—
--	 A	4,39	104	35	35x17	7817	7,8	1,000	0,093	5,7	0,12	7	31	1,0	38	58,58	0,14	3,53	—
--	 A	4,39	104	35	35x17	7817	7,8	1,000	0,093	5,7	0,12	7	31	1,0	38	58,60	0,14	3,53	—
--	 A	3,24	003	35	35x17	12257	12,3	1,000	0,146	8,9	0,19	16	51	1,3	73	58,68	0,07	2,61	—
--	 A	4,39	101	35	35x17	7817	7,8	1,000	0,093	5,7	0,12	7	31	0,5	35	58,81	0,14	3,53	—
--	 A	3,24	001	35	35x17	11862	11,9	1,000	0,142	8,6	0,18	15	48	0,3	53	58,73	0,07	2,61	—
--	 A	4,39	103	28	28x17	7817	7,8	1,000	0,093	5,7	0,19	23	102	1,5	130	58,86	0,12	2,15	—
--	 A	4,39	103	28	28x17	7817	7,8	1,000	0,093	5,7	0,19	23	102	2,0	139	58,79	0,12	2,15	—
—	 A	3,24	001	35	35x28	22977	23,0	1,000	0,274	16,9	0,35	45	146	0,3	165	79,85	0,04	2,61	—
—	 A	3,24	002	35	35x28	13895	13,9	1,000	0,166	10,2	0,21	18	60	0,3	66	79,77	0,07	2,61	—
—	 A	3,24	002	42	42x27	18285	18,3	1,000	0,218	13,5	0,19	12	38	0,3	43	79,62	0,06	3,87	—
—	 A	3,24	003	35	35x28	12257	12,3	1,000	0,146	9,0	0,19	15	48	0,8	62	79,32	0,08	2,61	—
—	 A	3,24	001	35	35x28	19069	19,1	1,000	0,228	14,1	0,29	32	105	0,3	117	79,86	0,05	2,61	—
—	 A	3,24	002	35	35x28	12839	12,8	1,000	0,153	9,5	0,20	16	52	0,3	58	79,79	0,07	2,61	—
—	 A	3,24	002	35	35x28	9986	10,0	1,000	0,119	7,4	0,15	10	33	0,3	37	79,75	0,09	2,61	—
—	 A	3,24	002	35	35x28	12207	12,2	1,000	0,146	9,0	0,19	15	47	0,3	53	79,61	0,08	2,61	—
—	 A	3,24	003	35	35x28	12257	12,3	1,000	0,146	9,0	0,19	15	48	0,8	62	79,30	0,08	2,61	—
—	 A	3,24	001	35	35x28	11862	11,9	1,000	0,142	8,7	0,18	14	45	0,3	50	79,95	0,08	2,61	—
—	 A	4,39	101	35	35x28	7817	7,8	1,000	0,093	5,8	0,12	7	29	0,5	33	79,87	0,16	3,53	—
—	 A	4,39	102	35	35x28	11725	11,7	1,000	0,140	8,6	0,18	14	60	1,0	76	79,81	0,11	3,53	—
—	 A	4,39	102	35	35x28	15634	15,6	1,000	0,187	11,5	0,24	23	100	1,0	128	79,81	0,08	3,53	—
—	 A	4,39	102	35	35x28	11725	11,7	1,000	0,140	8,6	0,18	14	60	0,5	68	79,71	0,11	3,53	—















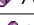


Typ	Rury	L	Pom.	d <sub>n</sub>	Iz. D <sub>w</sub> ×G	Φ <sub>HL</sub>	Φ <sub>HL</sub>	PL <sub>C</sub>	M	Q	w	R	R·L	Σζ	Δp	θ <sub>s</sub>	Δθ <sub>r</sub>	V	Stan
dz.		m		mm	mm	W	kW		kg/s	l/min	m/s	Pa/m	Pa		Pa	°C	K	l	
—	 A	4,39	102	35	35x28	9541	9,5	1,000	0,114	7,0	0,15	9	42	0,5	47	79,72	0,13	3,53	—
—	 A	4,39	103	42	42x27	11725	11,7	1,000	0,140	8,6	0,12	5	23	1,0	31	79,56	0,13	5,24	—
—	 A	4,39	104	35	35x28	7817	7,8	1,000	0,093	5,8	0,12	7	29	1,0	37	79,23	0,16	3,53	—
—	 A	4,39	104	35	35x28	7817	7,8	1,000	0,093	5,8	0,12	7	29	1,0	37	79,24	0,16	3,53	—
—	 A	4,39	101	35	35x28	7817	7,8	1,000	0,093	5,8	0,12	7	29	0,5	33	79,87	0,16	3,53	—
—	 A	2,84	001	35	35x28	11862	11,9	1,000	0,142	8,7	0,18	14	39	0,3	44	79,94	0,07	2,28	—
—	 A	4,39	103	28	28x28	7817	7,8	1,000	0,093	5,8	0,20	22	95	1,0	115	79,66	0,15	2,15	—
—	 A	4,39	103	28	28x28	7817	7,8	1,000	0,093	5,8	0,20	22	95	1,5	124	79,54	0,15	2,15	—
—	 A	10,90	001	88	89x27	102117	102,1	1,000	1,220	74,4	0,22	6	68	1,1	95	58,82	0,04	61,71	—
5 1 2100 OX				d <sub>n</sub> = 80 mm		k <sub>v</sub> = 865,000													
—	 A	3,50	002	54	54x22	60268	60,3	1,000	0,720	43,9	0,36	28	99	0,5	131	58,70	0,02	7,15	—
—	 A	0,20	001	108	108x32	200678	200,7	1,000	2,397	146,2	0,29	8	2	0,3	14	58,73	0,00	1,70	—
—	 A	0,35	001	88	89x27	98562	98,6	1,000	1,177	71,8	0,21	6	2	0,5	14	58,68	0,00	1,98	—
—	 A	0,35	001	28	28x28	4015	4,0	1,000	0,048	2,9	0,10	7	3	1,0	7	60,69	0,02	0,17	—
—	 A	8,80	001	66	67x27	90255	90,3	1,000	1,078	65,8	0,34	20	176	1,1	240	58,87	0,03	28,04	—
5 1 2100 OX				d <sub>n</sub> = 65 mm		k <sub>v</sub> = 530,000													
—	 A	0,34	001	28	28x28	4015	4,0	1,000	0,048	2,9	0,10	7	2	1,0	7	60,67	0,01	0,16	—
—	 A	0,34	004	28	28x17	1724	1,7	1,000	0,021	1,3	0,04	1	0	1,0	1	59,21	0,04	0,16	—
—	 A	0,03	004	54	54x22	47429	47,4	1,000	0,566	34,6	0,28	18	0	0,0	0	58,68	0,00	0,05	—
—	 A	1,30	004	54	54x22	45705	45,7	1,000	0,546	33,3	0,27	17	22	0,5	41	58,67	0,01	2,66	—
—	 A	0,90	002	54	54x22	35718	35,7	1,000	0,427	26,0	0,21	11	10	0,7	26	58,68	0,01	1,84	—
5 1 2100 OX				d <sub>n</sub> = 50 mm		k <sub>v</sub> = 220,000													
—	 A	0,34	002	28	28x17	2887	2,9	1,000	0,034	2,1	0,07	4	1	1,0	4	59,72	0,03	0,16	—
—	 A	6,85	003	42	42x22	12257	12,3	1,000	0,146	8,9	0,12	6	42	0,5	46	58,60	0,15	8,18	—
—	 A	8,00	002	54	54x22	55691	55,7	1,000	0,665	40,6	0,33	25	196	1,5	278	58,63	0,04	16,34	—
—	 A	0,14	002	28	28x17	2887	2,9	1,000	0,034	2,1	0,07	4	1	1,0	3	59,70	0,01	0,07	—
—	 A	4,45	002	54	54x22	36023	36,0	1,000	0,430	26,2	0,21	11	50	0,5	62	58,59	0,04	9,09	—
—	 A	0,14	003	28	28x17	2741	2,7	1,000	0,033	2,0	0,07	4	0	1,0	3	58,73	0,01	0,07	—
—	 A	0,34	002	28	28x17	2887	2,9	1,000	0,034	2,1	0,07	4	1	1,0	4	59,79	0,03	0,16	—
—	 A	0,25	001	88	89x27	98562	98,6	1,000	1,177	71,8	0,21	6	1	0,3	8	58,72	0,00	1,42	—
—	 A	5,15	001	66	67x27	78669	78,7	1,000	0,939	57,3	0,30	16	80	1,5	148	58,69	0,02	16,41	—
—	 A	0,34	001	35	35x17	19069	19,1	1,000	0,228	13,9	0,29	34	11	283,5	11763	58,91	0,00	0,27	—
5 ASV-PVRP25IV				Nastawa: 12 d <sub>n</sub> = 20 mm															
				Δp <sub>st</sub> = 12,00 kPa k <sub>v</sub> = 2,436 m <sup>3</sup> /h															
—	 A	0,14	001	35	35x17	22977	23,0	1,000	0,274	16,7	0,35	48	6	201,3	12120	58,92	0,00	0,11	—
5 ASV-PVRP25IV				Nastawa: 12 d <sub>n</sub> = 25 mm															

Typ	Rury	L	Pom.	d <sub>n</sub>	Iz. D <sub>w</sub> ×G	Φ <sub>HL</sub>	Φ <sub>HL</sub>	PL <sub>C</sub>	M	Q	w	R	R·L	Σζ	Δp	θ <sub>s</sub>	Δθ <sub>r</sub>	V	Stan
dz.		m		mm	mm	W	kW		kg/s	l/min	m/s	Pa/m	Pa		Pa	°C	K	l	
				Δp <sub>st</sub> = 12,00 kPa    k <sub>v</sub> = 2,893 m <sup>3</sup> /h															
--	A	0,15	002	35	35x17	13895	13,9	1,000	0,166	10,1	0,21	20	3	520,1	11447	58,73	0,00	0,12	—
	ASV-PVRP25IV			Nastawa: 12    d <sub>n</sub> = 20 mm															
				Δp <sub>st</sub> = 12,00 kPa    k <sub>v</sub> = 1,797 m <sup>3</sup> /h															
--	A	0,34	002	35	35x17	12839	12,8	1,000	0,153	9,4	0,19	17	6	578,1	10868	58,82	0,01	0,27	—
	ASV-PVRP25IV			Nastawa: 12    d <sub>n</sub> = 20 mm															
				Δp <sub>st</sub> = 12,00 kPa    k <sub>v</sub> = 1,704 m <sup>3</sup> /h															
--	A	1,73	004	54	54x22	47429	47,4	1,000	0,566	34,6	0,28	18	32	0,5	52	58,68	0,01	3,52	—
--	A	0,19	002	28	28x17	2887	2,9	1,000	0,034	2,1	0,07	4	1	1,0	3	59,77	0,01	0,09	—
--	A	0,14	002	42	42x22	18285	18,3	1,000	0,218	13,3	0,19	12	2	690,9	11933	58,70	0,00	0,16	—
	ASV-PVRP25IV			Nastawa: 11    d <sub>n</sub> = 20 mm															
				Δp <sub>st</sub> = 11,00 kPa    k <sub>v</sub> = 2,316 m <sup>3</sup> /h															
--	A	3,70	003	42	42x22	17739	17,7	1,000	0,212	12,9	0,18	12	43	1,5	68	58,54	0,05	4,42	—
--	A	0,34	002	35	35x17	12207	12,2	1,000	0,146	8,9	0,18	16	5	601,7	10224	58,76	0,01	0,27	—
	ASV-PVRP25IV			Nastawa: 12    d <sub>n</sub> = 20 mm															
				Δp <sub>st</sub> = 12,00 kPa    k <sub>v</sub> = 1,671 m <sup>3</sup> /h															
--	A	0,14	003	42	42x22	12257	12,3	1,000	0,146	8,9	0,12	6	1	1372,7	10654	58,63	0,00	0,16	—
	ASV-PVRP25IV			Nastawa: 12    d <sub>n</sub> = 20 mm															
				Δp <sub>st</sub> = 12,00 kPa    k <sub>v</sub> = 1,642 m <sup>3</sup> /h															
--	A	0,34	002	35	35x17	9986	10,0	1,000	0,119	7,3	0,15	11	4	927,4	10545	58,76	0,01	0,27	—
	ASV-PVRP25IV			Nastawa: 12    d <sub>n</sub> = 15 mm															
				Δp <sub>st</sub> = 12,00 kPa    k <sub>v</sub> = 1,345 m <sup>3</sup> /h															
--	A	0,14	001	35	35x17	11862	11,9	1,000	0,142	8,6	0,18	15	2	807,8	12950	58,25	0,00	0,11	—
	ASV-PVRP25IV			Nastawa: 12    d <sub>n</sub> = 15 mm															
				Δp <sub>st</sub> = 12,00 kPa    k <sub>v</sub> = 1,442 m <sup>3</sup> /h															
--	A	10,10	001	88	89x27	98562	98,6	1,000	1,177	71,8	0,21	6	59	0,4	69	58,72	0,04	57,18	—
	1 2100 OX			d <sub>n</sub> = 80 mm    k <sub>v</sub> = 865,000															
--	A	0,14	001	28	28x28	4015	4,0	1,000	0,048	2,9	0,10	7	1	1,0	6	60,67	0,01	0,07	—
--	A	0,14	003	28	28x17	2741	2,7	1,000	0,033	2,0	0,07	4	0	1,0	3	58,81	0,01	0,07	—
--	A	0,14	001	28	28x28	4015	4,0	1,000	0,048	2,9	0,10	7	1	1,0	6	60,69	0,01	0,07	—
--	A	0,34	003	28	28x17	2741	2,7	1,000	0,033	2,0	0,07	4	1	1,0	3	58,78	0,03	0,16	—
--	A	0,34	003	28	28x17	2741	2,7	1,000	0,033	2,0	0,07	4	1	1,0	3	58,83	0,03	0,16	—
--	A	3,70	002	54	54x22	52805	52,8	1,000	0,631	38,5	0,31	22	83	0,5	107	58,59	0,02	7,56	—
--	A	0,34	003	42	42x22	12257	12,3	1,000	0,146	8,9	0,12	6	2	1288,8	10004	58,61	0,01	0,40	—
	ASV-PVRP25IV			Nastawa: 12    d <sub>n</sub> = 20 mm															
				Δp <sub>st</sub> = 12,00 kPa    k <sub>v</sub> = 1,694 m <sup>3</sup> /h															







































Typ	Rury	L	Pom.	d <sub>n</sub>	Iz. D <sub>w</sub> ×G	Φ <sub>HL</sub>	Φ <sub>HL</sub>	PL <sub>C</sub>	M	Q	w	R	R·L	Σζ	Δp	θ <sub>s</sub>	Δθ <sub>r</sub>	V	Stan
dz.		m		mm	mm	W	kW		kg/s	l/min	m/s	Pa/m	Pa		Pa	°C	K	l	
--	 A	0,28	001	35	35x17	11862	11,9	1,000	0,142	8,6	0,18	15	4	807,6	12955	58,66	0,01	0,23	—
	 ASV-PVRP25IV			Nastawa: 12 d <sub>n</sub> = 15 mm															
				Δp <sub>st</sub> = 12,00 kPa k <sub>v</sub> = 1,442 m <sup>3</sup> /h															
--	 A	10,60	001	76	76x27	86699	86,7	1,000	1,035	63,2	0,26	10	108	1,7	163	58,83	0,04	43,28	—
	 1 2100 0X			d <sub>n</sub> = 65 mm k <sub>v</sub> = 530,000															
--	 A	1,15	001	76	76x27	82684	82,7	1,000	0,987	60,2	0,25	9	11	0,5	26	58,75	0,00	4,70	—
--	 A	4,10	002	54	54x22	32832	32,8	1,000	0,392	23,9	0,20	10	39	0,5	49	58,62	0,04	8,38	—
--	 A	0,34	002	28	28x17	2887	2,9	1,000	0,034	2,1	0,07	4	1	1,0	4	59,74	0,03	0,16	—
--	 A	3,35	002	54	54x22	29945	29,9	1,000	0,358	21,8	0,18	8	27	0,5	35	58,55	0,03	6,84	—
--	 A	4,40	002	54	54x22	38910	38,9	1,000	0,465	28,3	0,23	13	57	0,7	76	58,58	0,03	8,99	—
	 1 2100 0X			d <sub>n</sub> = 50 mm k <sub>v</sub> = 220,000															
--	 A	3,15	001	66	67x27	86239	86,2	1,000	1,030	62,8	0,33	18	58	0,5	85	58,80	0,01	10,04	—
--	 A	3,95	003	42	42x22	14998	15,0	1,000	0,179	10,9	0,15	9	34	0,5	40	58,51	0,07	4,72	—
--	 A	1,35	003	42	42x22	17739	17,7	1,000	0,212	12,9	0,18	12	16	1,5	40	58,50	0,02	1,61	—
--	 A	2,85	001	66	67x27	82224	82,2	1,000	0,982	59,9	0,31	17	48	0,5	73	58,74	0,01	9,08	—
--	 A	1,00	003	42	42x22	14998	15,0	1,000	0,179	10,9	0,15	9	9	0,5	15	58,51	0,02	1,19	—
--	 A	3,45	003	42	42x22	12257	12,3	1,000	0,146	8,9	0,12	6	21	0,5	25	58,63	0,07	4,12	—
--	 A	8,15	002	54	54x22	63155	63,2	1,000	0,754	46,0	0,38	31	250	1,5	356	58,73	0,04	16,65	—
--	 A	0,19	001	76	76x27	82684	82,7	1,000	0,987	60,2	0,25	9	2	0,3	11	58,75	0,00	0,76	—
--	 A	0,35	001	76	76x27	82684	82,7	1,000	0,987	60,2	0,25	9	3	0,3	12	58,75	0,00	1,43	—
--	 A	0,19	001	76	76x27	82684	82,7	1,000	0,987	60,2	0,25	9	2	0,3	11	58,75	0,00	0,76	—
--	 A	2,85	001	76	76x27	82684	82,7	1,000	0,987	60,2	0,25	9	27	0,3	36	58,76	0,01	11,64	—
--	 A	0,20	002	54	54x22	38910	38,9	1,000	0,465	28,3	0,23	13	3	0,3	11	58,58	0,00	0,41	—
--	 A	0,35	002	54	54x22	38910	38,9	1,000	0,465	28,3	0,23	13	5	0,3	13	58,58	0,00	0,71	—
--	 A	0,20	002	54	54x22	38910	38,9	1,000	0,465	28,3	0,23	13	3	0,3	11	58,59	0,00	0,41	—
--	 A	6,45	002	54	54x22	38910	38,9	1,000	0,465	28,3	0,23	13	84	0,3	92	58,64	0,05	13,18	—
--	 A	0,23	001	66	67x27	86239	86,2	1,000	1,030	62,8	0,33	18	4	0,3	21	58,80	0,00	0,75	—
--	 A	0,15	001	66	67x27	86239	86,2	1,000	1,030	62,8	0,33	18	3	0,3	19	58,80	0,00	0,48	—
--	 A	0,23	001	66	67x27	86239	86,2	1,000	1,030	62,8	0,33	18	4	0,3	21	58,80	0,00	0,75	—
--	 A	5,00	001	66	67x27	86239	86,2	1,000	1,030	62,8	0,33	18	92	0,3	108	58,82	0,02	15,93	—
--	 A	0,23	004	54	54x22	45705	45,7	1,000	0,546	33,3	0,27	17	4	0,3	15	58,68	0,00	0,48	—
--	 A	0,15	004	54	54x22	45705	45,7	1,000	0,546	33,3	0,27	17	3	0,3	14	58,68	0,00	0,31	—
--	 A	0,23	004	54	54x22	45705	45,7	1,000	0,546	33,3	0,27	17	4	0,3	15	58,68	0,00	0,48	—
--	 A	1,25	002	54	54x22	45705	45,7	1,000	0,546	33,3	0,27	17	22	0,3	33	58,69	0,01	2,55	—
--	 A	0,19	003	42	42x22	14998	15,0	1,000	0,179	10,9	0,15	9	2	0,3	5	58,51	0,00	0,22	—
--	 A	0,35	003	42	42x22	14998	15,0	1,000	0,179	10,9	0,15	9	3	0,3	7	58,52	0,01	0,42	—


















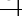
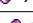








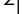









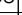





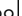



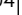






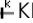


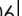





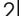
Typ	Rury	L	Pom.	d <sub>n</sub>	Iz. D <sub>w</sub> ×G	Φ <sub>HL</sub>	Φ <sub>HL</sub>	PL <sub>C</sub>	M	Q	w	R	R·L	Σζ	Δp	θ <sub>s</sub>	Δθ <sub>r</sub>	V	Stan
dz.		m		mm	mm	W	kW		kg/s	l/min	m/s	Pa/m	Pa		Pa	°C	K	l	
--	A	0,19	003	42	42x22	14998	15,0	1,000	0,179	10,9	0,15	9	2	0,3	5	58,52	0,00	0,22	—
--	A	3,70	003	42	42x22	14998	15,0	1,000	0,179	10,9	0,15	9	32	0,3	36	58,58	0,06	4,42	—
--	A	0,28	002	54	54x22	29945	29,9	1,000	0,358	21,8	0,18	8	2	0,3	7	58,56	0,00	0,58	—
--	A	0,15	002	54	54x22	29945	29,9	1,000	0,358	21,8	0,18	8	1	0,3	6	58,56	0,00	0,31	—
--	A	0,28	002	54	54x22	29945	29,9	1,000	0,358	21,8	0,18	8	2	0,3	7	58,56	0,00	0,58	—
--	A	2,90	002	54	54x22	29945	29,9	1,000	0,358	21,8	0,18	8	24	0,3	28	58,59	0,03	5,92	—
--	A	3,50	002	54	54x33	60268	60,3	1,000	0,720	44,4	0,36	27	94	0,5	127	79,82	0,02	7,15	—
--	A	10,90	001	88	89x43	102117	102,1	1,000	1,220	75,3	0,22	6	65	3,2	143	80,00	0,05	61,71	—
● 1 2100 OX			d <sub>n</sub> = 80 mm                      k <sub>v</sub> = 865,000																
--	A	0,30	001	108	108x49	200678	200,7	1,000	2,397	148,0	0,29	8	2	0,3	15	80,00	0,00	2,55	—
--	A	0,25	001	28	28x28	4015	4,0	1,000	0,048	3,0	0,10	7	2	986,1	4984	79,92	0,02	0,12	—
+ <sup>k</sup> KRYZA			Nastawa: K6                      d <sub>n</sub> = 28 mm																
			k <sub>v</sub> = 0,796 m³/h																
--	A	9,00	001	66	67x38	90255	90,3	1,000	1,078	66,5	0,35	19	171	1,6	267	79,95	0,04	28,68	—
● 1 2100 OX			d <sub>n</sub> = 65 mm                      k <sub>v</sub> = 530,000																
--	A	0,23	001	28	28x28	4015	4,0	1,000	0,048	3,0	0,10	7	2	986,1	4984	79,88	0,02	0,12	—
+ <sup>k</sup> KRYZA			Nastawa: K6                      d <sub>n</sub> = 28 mm																
			k <sub>v</sub> = 0,796 m³/h																
--	A	0,23	004	28	28x28	1724	1,7	1,000	0,021	1,3	0,04	1	0	7329,9	6827	79,78	0,04	0,12	—
+ <sup>k</sup> KRYZA			Nastawa: K4                      d <sub>n</sub> = 28 mm																
			k <sub>v</sub> = 0,292 m³/h																
--	A	0,03	004	54	54x33	47429	47,4	1,000	0,566	35,0	0,29	17	0	0,0	0	79,78	0,00	0,05	—
--	A	1,10	004	54	54x33	45705	45,7	1,000	0,546	33,7	0,27	16	18	0,5	37	79,78	0,01	2,25	—
--	A	1,10	002	54	54x33	35718	35,7	1,000	0,427	26,3	0,21	11	12	0,7	28	79,76	0,01	2,25	—
● 1 2100 OX			d <sub>n</sub> = 50 mm                      k <sub>v</sub> = 220,000																
--	A	0,23	002	28	28x28	2887	2,9	1,000	0,034	2,1	0,07	4	1	2429,5	6343	79,70	0,02	0,12	—
+ <sup>k</sup> KRYZA			Nastawa: K5                      d <sub>n</sub> = 28 mm																
			k <sub>v</sub> = 0,507 m³/h																
--	A	6,65	003	42	42x27	12257	12,3	1,000	0,146	9,0	0,13	6	38	0,5	42	79,50	0,19	7,94	—
--	A	0,23	002	28	28x28	2887	2,9	1,000	0,034	2,1	0,07	4	1	2429,5	6343	79,67	0,02	0,12	—
+ <sup>k</sup> KRYZA			Nastawa: K5                      d <sub>n</sub> = 28 mm																
			k <sub>v</sub> = 0,507 m³/h																
--	A	4,65	002	54	54x33	36023	36,0	1,000	0,430	26,6	0,22	11	50	0,5	61	79,67	0,05	9,50	—
--	A	0,23	003	28	28x28	2741	2,7	1,000	0,033	2,0	0,07	4	1	2429,6	5715	79,43	0,02	0,12	—
+ <sup>k</sup> KRYZA			Nastawa: K5                      d <sub>n</sub> = 28 mm																
			k <sub>v</sub> = 0,507 m³/h																

























Typ	Rury	L	Pom.	d <sub>n</sub>	Iz. D <sub>w</sub> ×G	Φ <sub>HL</sub>	Φ <sub>HL</sub>	PL <sub>C</sub>	M	Q	w	R	R·L	Σζ	Δp	θ <sub>s</sub>	Δθ <sub>r</sub>	V	Stan
dz.		m		mm	mm	W	kW		kg/s	l/min	m/s	Pa/m	Pa		Pa	°C	K	l	
—	 A	0,23	002	28	28x28	2887	2,9	1,000	0,034	2,1	0,07	4	1	2429,5	6344	79,82	0,02	0,12	—
	+ <sup>k</sup> KRYZA			Nastawa: K5 d <sub>n</sub> = 28 mm															
				k <sub>v</sub> = 0,507 m <sup>3</sup> /h															
—	 A	0,20	001	88	89x43	98562	98,6	1,000	1,177	72,7	0,21	6	1	0,3	8	79,95	0,00	1,13	—
—	 A	10,00	001	88	89x43	98562	98,6	1,000	1,177	72,7	0,21	6	56	0,3	63	80,00	0,04	56,61	—
	● 1 2100 0X			d <sub>n</sub> = 80 mm k <sub>v</sub> = 865,000															
—	 A	5,35	001	66	67x38	78669	78,7	1,000	0,939	58,0	0,30	15	79	1,0	125	79,88	0,02	17,05	—
—	 A	0,23	001	35	35x28	19069	19,1	1,000	0,228	14,1	0,29	32	8	78,7	3347	79,87	0,00	0,19	—
	● ASV-I-G			Nastawa: 1,6 d <sub>n</sub> = 32 mm															
				k <sub>v</sub> = 4,661 m <sup>3</sup> /h															
—	 A	0,23	001	35	35x28	22977	23,0	1,000	0,274	16,9	0,35	45	11	54,1	3342	79,86	0,00	0,19	—
	● ASV-I-G			Nastawa: 2,2 d <sub>n</sub> = 32 mm															
				k <sub>v</sub> = 5,648 m <sup>3</sup> /h															
—	 A	0,25	002	35	35x28	13895	13,9	1,000	0,166	10,2	0,21	18	5	160,5	3622	79,78	0,01	0,20	—
	● ASV-I-G			Nastawa: 1 d <sub>n</sub> = 32 mm															
				k <sub>v</sub> = 3,247 m <sup>3</sup> /h															
—	 A	0,23	002	35	35x28	12839	12,8	1,000	0,153	9,5	0,20	16	4	192,2	3702	79,80	0,01	0,19	—
	● ASV-I-G			Nastawa: 0,9 d <sub>n</sub> = 32 mm															
				k <sub>v</sub> = 2,965 m <sup>3</sup> /h															
—	 A	1,73	004	54	54x33	47429	47,4	1,000	0,566	35,0	0,29	17	30	0,5	50	79,80	0,01	3,52	—
—	 A	0,28	002	28	28x28	2887	2,9	1,000	0,034	2,1	0,07	4	1	2429,5	6344	79,80	0,03	0,14	—
	+ <sup>k</sup> KRYZA			Nastawa: K5 d <sub>n</sub> = 28 mm															
				k <sub>v</sub> = 0,507 m <sup>3</sup> /h															
—	 A	7,80	002	54	54x33	55691	55,7	1,000	0,665	41,1	0,34	23	182	1,0	238	79,86	0,05	15,93	—
—	 A	3,70	002	54	54x33	52805	52,8	1,000	0,631	38,9	0,32	21	78	0,5	104	79,80	0,03	7,56	—
—	 A	0,23	002	42	42x27	18285	18,3	1,000	0,218	13,5	0,19	12	3	171,8	3040	79,62	0,00	0,28	—
	● ASV-I-G			Nastawa: 1,6 d <sub>n</sub> = 32 mm															
				k <sub>v</sub> = 4,661 m <sup>3</sup> /h															
—	 A	3,50	003	42	42x27	17739	17,7	1,000	0,212	13,1	0,18	11	38	1,0	55	79,62	0,07	4,18	—
—	 A	0,23	002	35	35x28	12207	12,2	1,000	0,146	9,0	0,19	15	3	234,4	4079	79,62	0,01	0,19	—
	● ASV-I-G			Nastawa: 0,8 d <sub>n</sub> = 32 mm															
				k <sub>v</sub> = 2,683 m <sup>3</sup> /h															
—	 A	0,23	003	42	42x27	12257	12,3	1,000	0,146	9,0	0,13	6	1	572,7	4551	79,32	0,01	0,28	—
	● ASV-I-G			Nastawa: 0,75 d <sub>n</sub> = 32 mm															
				k <sub>v</sub> = 2,542 m <sup>3</sup> /h															
—	 A	0,23	003	42	42x27	12257	12,3	1,000	0,146	9,0	0,13	6	1	572,7	4551	79,31	0,01	0,28	—

Typ	Rury	L	Pom.	d <sub>n</sub>	Iz. D <sub>w</sub> ×G	Φ <sub>HL</sub>	Φ <sub>HL</sub>	PL <sub>C</sub>	M	Q	w	R	R·L	Σζ	Δp	θ <sub>s</sub>	Δθ <sub>r</sub>	V	Stan
dz.		m		mm	mm	W	kW		kg/s	l/min	m/s	Pa/m	Pa		Pa	°C	K	l	
	● ASV-I-G		Nastawa: 0,75 d <sub>n</sub> = 32 mm																
			k <sub>v</sub> = 2,542 m <sup>3</sup> /h																
—	⌘ A	0,23	002	35	35x28	9986	10,0	1,000	0,119	7,4	0,15	10	2	383,9	4470	79,76	0,01	0,19	—
	● ASV-I-G		Nastawa: 1 d <sub>n</sub> = 25 mm																
			k <sub>v</sub> = 2,094 m <sup>3</sup> /h																
—	⌘ A	0,23	001	35	35x28	11862	11,9	1,000	0,142	8,7	0,18	14	3	234,4	3854	79,95	0,01	0,19	—
	● ASV-I-G		Nastawa: 0,8 d <sub>n</sub> = 32 mm																
			k <sub>v</sub> = 2,683 m <sup>3</sup> /h																
—	⌘ A	0,23	001	28	28x28	4015	4,0	1,000	0,048	3,0	0,10	7	2	986,1	4984	79,88	0,02	0,12	—
	⌘ KRYZA		Nastawa: K6 d <sub>n</sub> = 28 mm																
			k <sub>v</sub> = 0,796 m <sup>3</sup> /h																
—	⌘ A	0,23	003	28	28x28	2741	2,7	1,000	0,033	2,0	0,07	4	1	2429,6	5716	79,55	0,02	0,12	—
	⌘ KRYZA		Nastawa: K5 d <sub>n</sub> = 28 mm																
			k <sub>v</sub> = 0,507 m <sup>3</sup> /h																
—	⌘ A	0,23	001	28	28x28	4015	4,0	1,000	0,048	3,0	0,10	7	2	986,1	4984	79,90	0,02	0,12	—
	⌘ KRYZA		Nastawa: K6 d <sub>n</sub> = 28 mm																
			k <sub>v</sub> = 0,796 m <sup>3</sup> /h																
—	⌘ A	0,23	003	28	28x28	2741	2,7	1,000	0,033	2,0	0,07	4	1	2429,6	5716	79,50	0,02	0,12	—
	⌘ KRYZA		Nastawa: K5 d <sub>n</sub> = 28 mm																
			k <sub>v</sub> = 0,507 m <sup>3</sup> /h																
—	⌘ A	0,14	001	88	89x43	98562	98,6	1,000	1,177	72,7	0,21	6	1	3,1	71	80,00	0,00	0,80	—
—	⌘ A	0,44	001	35	35x28	11862	11,9	1,000	0,142	8,7	0,18	14	6	233,9	3849	79,95	0,01	0,35	—
	● ASV-I-G		Nastawa: 0,8 d <sub>n</sub> = 32 mm																
			k <sub>v</sub> = 2,683 m <sup>3</sup> /h																
—	⌘ A	10,40	001	76	76x38	86699	86,7	1,000	1,035	63,9	0,26	10	101	1,2	140	79,95	0,05	42,46	—
	● 1 2100 0X		d <sub>n</sub> = 65 mm k <sub>v</sub> = 530,000																
—	⌘ A	1,35	001	76	76x38	82684	82,7	1,000	0,987	61,0	0,25	9	12	0,5	28	79,90	0,01	5,51	—
—	⌘ A	4,10	002	54	54x33	32832	32,8	1,000	0,392	24,2	0,20	9	37	0,5	47	79,75	0,05	8,38	—
—	⌘ A	0,23	002	28	28x28	2887	2,9	1,000	0,034	2,1	0,07	4	1	2429,5	6343	79,75	0,02	0,12	—
	⌘ KRYZA		Nastawa: K5 d <sub>n</sub> = 28 mm																
			k <sub>v</sub> = 0,507 m <sup>3</sup> /h																
—	⌘ A	3,15	002	54	54x33	29945	29,9	1,000	0,358	22,1	0,18	8	24	0,5	32	79,70	0,04	6,43	—
—	⌘ A	4,60	002	54	54x33	38910	38,9	1,000	0,465	28,7	0,23	12	56	0,7	76	79,78	0,04	9,40	—

Typ	Rury	L	Pom.	d <sub>n</sub>	Iz. D <sub>w</sub> ×G	Φ <sub>HL</sub>	Φ <sub>HL</sub>	PL <sub>C</sub>	M	Q	w	R	R·L	Σζ	Δp	θ <sub>s</sub>	Δθ <sub>r</sub>	V	Stan
dz.		m		mm	mm	W	kW		kg/s	l/min	m/s	Pa/m	Pa		Pa	°C	K	l	
	5 1 2100 0X			d <sub>n</sub> = 50 mm	k <sub>v</sub> = 220,000														
—	A	2,95	001	66	67x38	86239	86,2	1,000	1,030	63,6	0,33	17	52	0,5	79	79,92	0,01	9,40	—
—	A	3,95	003	42	42x27	14998	15,0	1,000	0,179	11,1	0,15	8	32	0,5	38	79,59	0,09	4,72	—
—	A	1,55	003	42	42x27	17739	17,7	1,000	0,212	13,1	0,18	11	17	1,0	34	79,62	0,03	1,85	—
—	A	2,85	001	66	67x38	82224	82,2	1,000	0,982	60,6	0,32	16	46	0,5	71	79,88	0,01	9,08	—
—	A	1,20	003	42	42x27	14998	15,0	1,000	0,179	11,1	0,15	8	10	0,5	16	79,55	0,03	1,43	—
—	A	3,65	003	42	42x27	12257	12,3	1,000	0,146	9,0	0,13	6	21	0,5	25	79,43	0,10	4,36	—
—	A	8,15	002	54	54x33	63155	63,2	1,000	0,754	46,6	0,38	29	238	1,0	310	79,87	0,05	16,65	—
—	A	0,19	001	76	76x38	82684	82,7	1,000	0,987	61,0	0,25	9	2	0,3	11	79,90	0,00	0,76	—
—	A	0,15	001	76	76x38	82684	82,7	1,000	0,987	61,0	0,25	9	1	0,3	11	79,90	0,00	0,61	—
—	A	0,19	001	76	76x38	82684	82,7	1,000	0,987	61,0	0,25	9	2	0,3	11	79,90	0,00	0,76	—
—	A	2,85	001	76	76x38	82684	82,7	1,000	0,987	61,0	0,25	9	25	0,3	35	79,89	0,01	11,64	—
—	A	0,20	002	54	54x33	38910	38,9	1,000	0,465	28,7	0,23	12	2	0,3	11	79,74	0,00	0,41	—
—	A	0,15	002	54	54x33	38910	38,9	1,000	0,465	28,7	0,23	12	2	0,3	10	79,73	0,00	0,31	—
—	A	0,20	002	54	54x33	38910	38,9	1,000	0,465	28,7	0,23	12	2	0,3	11	79,73	0,00	0,41	—
—	A	6,45	002	54	54x33	38910	38,9	1,000	0,465	28,7	0,23	12	79	0,3	87	79,73	0,06	13,18	—
—	A	0,23	001	66	67x38	86239	86,2	1,000	1,030	63,6	0,33	17	4	0,3	21	79,90	0,00	0,75	—
—	A	0,35	001	66	67x38	86239	86,2	1,000	1,030	63,6	0,33	17	6	0,3	23	79,90	0,00	1,12	—
—	A	0,23	001	66	67x38	86239	86,2	1,000	1,030	63,6	0,33	17	4	0,3	21	79,90	0,00	0,75	—
—	A	5,00	001	66	67x38	86239	86,2	1,000	1,030	63,6	0,33	17	87	0,3	104	79,90	0,02	15,93	—
—	A	0,23	004	54	54x33	45705	45,7	1,000	0,546	33,7	0,27	16	4	0,3	15	79,77	0,00	0,48	—
—	A	0,35	004	54	54x33	45705	45,7	1,000	0,546	33,7	0,27	16	6	0,3	17	79,77	0,00	0,71	—
—	A	0,23	004	54	54x33	45705	45,7	1,000	0,546	33,7	0,27	16	4	0,3	15	79,77	0,00	0,48	—
—	A	1,05	002	54	54x33	45705	45,7	1,000	0,546	33,7	0,27	16	17	0,3	28	79,77	0,01	2,14	—
—	A	0,19	003	42	42x27	14998	15,0	1,000	0,179	11,1	0,15	8	2	0,3	5	79,53	0,00	0,22	—
—	A	0,15	003	42	42x27	14998	15,0	1,000	0,179	11,1	0,15	8	1	0,3	5	79,52	0,00	0,18	—
—	A	0,19	003	42	42x27	14998	15,0	1,000	0,179	11,1	0,15	8	2	0,3	5	79,52	0,00	0,22	—
—	A	3,70	003	42	42x27	14998	15,0	1,000	0,179	11,1	0,15	8	30	0,3	34	79,51	0,09	4,42	—
—	A	0,28	002	54	54x33	29945	29,9	1,000	0,358	22,1	0,18	8	2	0,3	7	79,66	0,00	0,58	—
—	A	0,35	002	54	54x33	29945	29,9	1,000	0,358	22,1	0,18	8	3	0,3	8	79,66	0,00	0,71	—
—	A	0,28	002	54	54x33	29945	29,9	1,000	0,358	22,1	0,18	8	2	0,3	7	79,66	0,00	0,58	—
—	A	2,70	002	54	54x33	29945	29,9	1,000	0,358	22,1	0,18	8	21	0,3	26	79,65	0,03	5,52	—
--	A	0,14	101	28	28x17	4045	4,0	1,000	0,048	2,9	0,10	7	1	1,0	6	58,82	0,01	0,07	—
--	A	2,85	101	28	28x17	4045	4,0	1,000	0,048	2,9	0,10	7	21	0,3	23	58,98	0,16	1,40	—
--	A	0,15	101	28	28x28	2023	2,0	1,000	0,024	1,5	0,05	1	0	1,0	1	60,46	0,01	0,07	—
--	A	4,05	101	28	28x17	2023	2,0	1,000	0,024	1,5	0,05	1	5	0,5	6	57,95	0,44	1,99	—





































Typ	Rury	L	Pom.	d <sub>n</sub>	Iz. D <sub>w</sub> ×G	Φ <sub>HL</sub>	Φ <sub>HL</sub>	PL <sub>C</sub>	M	Q	w	R	R·L	Σζ	Δp	θ <sub>s</sub>	Δθ <sub>r</sub>	V	Stan
dz.		m		mm	mm	W	kW		kg/s	l/min	m/s	Pa/m	Pa		Pa	°C	K	l	
--	 A	0,15	101	28	28x17	2023	2,0	1,000	0,024	1,5	0,05	1	0	0,3	1	57,97	0,02	0,07	—
--	 A	0,20	102	28	28x17	4045	4,0	1,000	0,048	2,9	0,10	7	1	1,0	6	58,94	0,01	0,10	—
--	 A	0,22	101	28	28x17	2023	2,0	1,000	0,024	1,5	0,05	1	0	0,3	1	58,00	0,02	0,11	—
--	 A	0,22	101	28	28x28	2023	2,0	1,000	0,024	1,5	0,05	1	0	1,0	2	60,49	0,02	0,11	—
--	 A	0,13	102	28	28x17	3298	3,3	1,000	0,039	2,4	0,08	5	1	1,0	4	59,49	0,01	0,06	—
--	 A	2,77	102	28	28x17	3298	3,3	1,000	0,039	2,4	0,08	5	14	0,2	15	59,68	0,19	1,36	—
--	 A	0,12	102	28	28x17	2170	2,2	1,000	0,026	1,6	0,05	2	0	1,0	2	58,85	0,01	0,06	—
--	 A	3,04	103	28	28x17	2170	2,2	1,000	0,026	1,6	0,05	2	5	0,2	5	59,17	0,33	1,49	—
--	 A	0,49	103	28	28x17	4339	4,3	1,000	0,052	3,2	0,11	8	4	1,0	10	58,89	0,03	0,24	—
--	 A	0,16	103	28	28x17	4339	4,3	1,000	0,052	3,2	0,11	8	1	0,2	2	58,90	0,01	0,08	—
--	 A	3,35	104	28	28x17	2220	2,2	1,000	0,027	1,6	0,05	2	6	0,2	6	59,43	0,33	1,64	—
--	 A	0,39	104	28	28x17	2220	2,2	1,000	0,027	1,6	0,05	2	1	1,0	2	59,35	0,04	0,19	—
--	 A	0,45	104	28	28x17	2220	2,2	1,000	0,027	1,6	0,05	2	1	0,2	1	59,40	0,05	0,22	—
--	 A	0,12	102	28	28x17	3298	3,3	1,000	0,039	2,4	0,08	5	1	0,3	2	59,68	0,01	0,06	—
--	 A	0,12	103	28	28x17	2170	2,2	1,000	0,026	1,6	0,05	2	0	0,3	1	59,18	0,01	0,06	—
--	 A	0,27	103	28	28x17	2170	2,2	1,000	0,026	1,6	0,05	2	0	0,3	1	59,00	0,03	0,13	—
--	 A	0,27	103	28	28x17	2170	2,2	1,000	0,026	1,6	0,05	2	0	1,0	2	59,29	0,03	0,13	—
--	 A	0,17	104	28	28x17	2220	2,2	1,000	0,027	1,6	0,05	2	0	0,3	1	59,44	0,02	0,08	—
--	 A	0,22	104	28	28x17	2220	2,2	1,000	0,027	1,6	0,05	2	0	0,3	1	59,42	0,02	0,11	—
--	 A	0,20	102	28	28x17	4045	4,0	1,000	0,048	2,9	0,10	7	1	1,0	6	58,93	0,01	0,10	—
--	 A	1,14	101	28	28x17	4045	4,0	1,000	0,048	2,9	0,10	7	8	0,2	9	59,00	0,06	0,56	—
--	 A	0,35	102	28	28x17	3298	3,3	1,000	0,039	2,4	0,08	5	2	1,0	5	59,49	0,02	0,17	—
--	 A	2,66	102	28	28x17	3298	3,3	1,000	0,039	2,4	0,08	5	14	0,2	14	59,67	0,18	1,30	—
--	 A	0,27	102	28	28x17	3298	3,3	1,000	0,039	2,4	0,08	5	1	0,3	2	59,69	0,02	0,13	—
--	 A	0,17	101	28	28x28	2023	2,0	1,000	0,024	1,5	0,05	1	0	1,0	1	60,48	0,01	0,08	—
--	 A	0,17	102	28	28x17	3298	3,3	1,000	0,039	2,4	0,08	5	1	1,0	4	59,37	0,01	0,09	—
--	 A	3,13	102	28	28x17	3298	3,3	1,000	0,039	2,4	0,08	5	16	0,2	17	59,58	0,21	1,54	—
--	 A	0,28	103	28	28x17	2170	2,2	1,000	0,026	1,6	0,05	2	0	1,0	2	59,27	0,03	0,14	—
--	 A	0,35	103	28	28x17	2170	2,2	1,000	0,026	1,6	0,05	2	1	0,2	1	59,31	0,04	0,17	—
--	 A	0,15	103	28	28x17	2170	2,2	1,000	0,026	1,6	0,05	2	0	1,0	2	58,81	0,02	0,07	—
--	 A	2,76	103	28	28x17	2170	2,2	1,000	0,026	1,6	0,05	2	5	0,2	5	59,10	0,30	1,36	—
--	 A	0,28	103	28	28x17	2220	2,2	1,000	0,027	1,6	0,05	2	1	1,0	2	59,45	0,03	0,14	—
--	 A	0,95	104	28	28x17	2220	2,2	1,000	0,027	1,6	0,05	2	2	0,2	2	59,55	0,10	0,47	—
--	 A	0,15	104	28	28x17	2220	2,2	1,000	0,027	1,6	0,05	2	0	1,0	2	58,95	0,02	0,07	—
--	 A	2,96	104	28	28x17	2220	2,2	1,000	0,027	1,6	0,05	2	5	0,2	6	59,25	0,29	1,45	—
--	 A	0,28	104	28	28x17	2220	2,2	1,000	0,027	1,6	0,05	2	1	1,0	2	59,30	0,03	0,14	—





































Typ	Rury	L	Pom.	d <sub>n</sub>	Iz. D <sub>w</sub> ×G	Φ <sub>HL</sub>	Φ <sub>HL</sub>	PL <sub>C</sub>	M	Q	w	R	R·L	Σζ	Δp	θ <sub>s</sub>	Δθ <sub>r</sub>	V	Stan
dz.		m		mm	mm	W	kW		kg/s	l/min	m/s	Pa/m	Pa		Pa	°C	K	l	
--	 A	0,76	104	28	28x17	2220	2,2	1,000	0,027	1,6	0,05	2	1	0,2	2	59,38	0,08	0,37	
--	 A	0,22	104	28	28x17	2220	2,2	1,000	0,027	1,6	0,05	2	0	0,3	1	59,40	0,02	0,11	
--	 A	0,12	104	28	28x17	2220	2,2	1,000	0,027	1,6	0,05	2	0	0,3	1	59,26	0,01	0,06	
--	 A	0,22	104	28	28x17	2220	2,2	1,000	0,027	1,6	0,05	2	0	0,3	1	59,57	0,02	0,11	
--	 A	0,12	103	28	28x17	2170	2,2	1,000	0,026	1,6	0,05	2	0	0,3	1	59,11	0,01	0,06	
--	 A	0,22	103	28	28x17	2170	2,2	1,000	0,026	1,6	0,05	2	0	0,3	1	59,33	0,02	0,11	
--	 A	0,17	102	28	28x17	3298	3,3	1,000	0,039	2,4	0,08	5	1	0,3	2	59,60	0,01	0,08	
--	 A	0,17	103	28	28x17	2220	2,2	1,000	0,027	1,6	0,05	2	0	1,0	2	59,09	0,02	0,09	
--	 A	2,65	101	28	28x17	4045	4,0	1,000	0,048	2,9	0,10	7	20	0,3	21	58,99	0,15	1,30	
--	 A	0,19	101	28	28x17	4045	4,0	1,000	0,048	2,9	0,10	7	1	1,0	6	58,84	0,01	0,09	
--	 A	0,25	101	28	28x17	2023	2,0	1,000	0,024	1,5	0,05	1	0	0,3	1	57,99	0,03	0,12	
--	 A	4,05	103	28	28x17	2170	2,2	1,000	0,026	1,6	0,05	2	7	0,5	7	58,97	0,43	1,99	
--	 A	0,17	101	28	28x17	2023	2,0	1,000	0,024	1,5	0,05	1	0	0,3	1	57,98	0,02	0,08	
--	 A	4,00	101	28	28x17	2023	2,0	1,000	0,024	1,5	0,05	1	5	0,5	6	57,96	0,44	1,96	
--	 A	0,25	101	28	28x28	2023	2,0	1,000	0,024	1,5	0,05	1	0	1,0	2	60,48	0,02	0,12	
--	 A	4,00	101	28	28x17	2023	2,0	1,000	0,024	1,5	0,05	1	5	0,5	6	57,97	0,44	1,96	
--	 A	4,05	101	28	28x17	2023	2,0	1,000	0,024	1,5	0,05	1	5	0,5	6	57,97	0,44	1,99	
--	 A	1,12	101	28	28x17	4045	4,0	1,000	0,048	2,9	0,10	7	8	0,3	10	59,00	0,06	0,55	
--	 A	0,23	104	28	28x17	2220	2,2	1,000	0,027	1,6	0,05	2	0	1,0	2	58,94	0,02	0,11	
--	 A	3,03	104	28	28x17	2220	2,2	1,000	0,027	1,6	0,05	2	6	0,2	6	59,24	0,30	1,49	
--	 A	0,17	104	28	28x17	2220	2,2	1,000	0,027	1,6	0,05	2	0	0,3	1	59,26	0,02	0,08	
--	 A	0,23	101	28	28x28	4045	4,0	1,000	0,048	3,0	0,10	7	2	1,5	9	79,87	0,02	0,12	
--	 A	2,65	101	28	28x28	4045	4,0	1,000	0,048	3,0	0,10	7	18	0,3	20	79,85	0,16	1,30	
--	 A	0,25	101	28	28x28	2023	2,0	1,000	0,024	1,5	0,05	2	0	1,5	2	79,69	0,03	0,12	
--	 A	4,05	101	28	28x28	2023	2,0	1,000	0,024	1,5	0,05	2	8	0,5	9	79,69	0,52	1,99	
--	 A	0,25	101	28	28x28	2023	2,0	1,000	0,024	1,5	0,05	2	0	0,3	1	79,17	0,03	0,12	
--	 A	0,09	102	28	28x28	4045	4,0	1,000	0,048	3,0	0,10	7	1	1,5	8	79,81	0,01	0,04	
--	 A	0,12	101	28	28x28	2023	2,0	1,000	0,024	1,5	0,05	2	0	132,6	170	79,20	0,01	0,06	
	⚡ KRYZA			Nastawa: K9 d <sub>n</sub> = 28 mm															
				k <sub>v</sub> = 2,172 m <sup>3</sup> /h															
--	 A	0,12	101	28	28x28	2023	2,0	1,000	0,024	1,5	0,05	2	0	133,8	172	79,72	0,01	0,06	
	⚡ KRYZA			Nastawa: K9 d <sub>n</sub> = 28 mm															
				k <sub>v</sub> = 2,172 m <sup>3</sup> /h															
--	 A	0,28	102	28	28x28	3298	3,3	1,000	0,039	2,4	0,08	5	1	1,5	6	79,81	0,02	0,14	
--	 A	2,46	102	28	28x28	3298	3,3	1,000	0,039	2,4	0,08	5	12	0,2	13	79,79	0,18	1,21	
--	 A	0,24	102	28	28x28	2170	2,2	1,000	0,026	1,6	0,05	2	1	1,5	3	79,71	0,03	0,12	









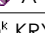



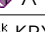











Typ	Rury	L	Pom.	d <sub>n</sub>	Iz. D <sub>w</sub> ×G	Φ <sub>HL</sub>	Φ <sub>HL</sub>	PL <sub>C</sub>	M	Q	w	R	R·L	Σζ	Δp	θ <sub>s</sub>	Δθ <sub>r</sub>	V	Stan
dz.		m		mm	mm	W	kW		kg/s	l/min	m/s	Pa/m	Pa		Pa	°C	K	l	
—	 A	2,98	103	28	28x28	2170	2,2	1,000	0,026	1,6	0,05	2	7	0,2	7	79,68	0,33	1,46	—
—	 A	0,28	103	28	28x28	4339	4,3	1,000	0,052	3,2	0,11	8	2	1,5	11	79,56	0,02	0,14	—
—	 A	0,54	103	28	28x28	4339	4,3	1,000	0,052	3,2	0,11	8	4	0,2	5	79,54	0,03	0,27	—
—	 A	3,07	104	28	28x28	2220	2,2	1,000	0,027	1,6	0,06	2	7	0,2	8	79,52	0,34	1,51	—
—	 A	0,18	104	28	28x28	2220	2,2	1,000	0,027	1,6	0,06	2	0	1,5	3	79,24	0,02	0,09	—
—	 A	0,83	104	28	28x28	2220	2,2	1,000	0,027	1,6	0,06	2	2	0,2	2	79,22	0,09	0,41	—
—	 A	0,22	102	28	28x28	3298	3,3	1,000	0,039	2,4	0,08	5	1	32,2	111	79,61	0,02	0,11	—
— <sup>k</sup> KRYZA				Nastawa: K12 d <sub>n</sub> = 28 mm															
				k <sub>v</sub> = 4,428 m <sup>3</sup> /h															
—	 A	0,22	103	28	28x28	2170	2,2	1,000	0,026	1,6	0,05	2	0	0,3	1	79,34	0,03	0,11	—
—	 A	0,17	103	28	28x28	2170	2,2	1,000	0,026	1,6	0,05	2	0	15,2	23	79,03	0,02	0,08	—
— <sup>k</sup> KRYZA				Nastawa: K14 d <sub>n</sub> = 28 mm															
				k <sub>v</sub> = 6,484 m <sup>3</sup> /h															
—	 A	0,17	103	28	28x28	2170	2,2	1,000	0,026	1,6	0,05	2	0	33,4	50	79,51	0,02	0,08	—
— <sup>k</sup> KRYZA				Nastawa: K12 d <sub>n</sub> = 28 mm															
				k <sub>v</sub> = 4,428 m <sup>3</sup> /h															
—	 A	0,27	104	28	28x28	2220	2,2	1,000	0,027	1,6	0,06	2	1	32,2	50	79,19	0,03	0,13	—
— <sup>k</sup> KRYZA				Nastawa: K12 d <sub>n</sub> = 28 mm															
				k <sub>v</sub> = 4,428 m <sup>3</sup> /h															
—	 A	0,12	104	28	28x28	2220	2,2	1,000	0,027	1,6	0,06	2	0	0,3	1	79,13	0,01	0,06	—
—	 A	0,35	102	28	28x28	4045	4,0	1,000	0,048	3,0	0,10	7	2	1,5	10	79,81	0,02	0,17	—
—	 A	1,24	101	28	28x28	4045	4,0	1,000	0,048	3,0	0,10	7	8	0,2	10	79,79	0,08	0,61	—
—	 A	0,20	102	28	28x28	3298	3,3	1,000	0,039	2,4	0,08	5	1	1,5	6	79,81	0,02	0,10	—
—	 A	2,56	102	28	28x28	3298	3,3	1,000	0,039	2,4	0,08	5	12	0,2	13	79,80	0,19	1,26	—
—	 A	0,17	102	28	28x28	3298	3,3	1,000	0,039	2,4	0,08	5	1	78,9	270	79,61	0,01	0,08	—
— <sup>k</sup> KRYZA				Nastawa: K10 d <sub>n</sub> = 28 mm															
				k <sub>v</sub> = 2,820 m <sup>3</sup> /h															
—	 A	0,27	101	28	28x28	2023	2,0	1,000	0,024	1,5	0,05	2	1	238,6	306	79,72	0,03	0,13	—
— <sup>k</sup> KRYZA				Nastawa: K8 d <sub>n</sub> = 28 mm															
				k <sub>v</sub> = 1,623 m <sup>3</sup> /h															
—	 A	0,30	102	28	28x28	3298	3,3	1,000	0,039	2,4	0,08	5	1	1,5	7	79,72	0,02	0,15	—
—	 A	3,05	102	28	28x28	3298	3,3	1,000	0,039	2,4	0,08	5	15	0,2	15	79,70	0,23	1,50	—
—	 A	0,13	103	28	28x28	2170	2,2	1,000	0,026	1,6	0,05	2	0	1,5	3	79,66	0,01	0,06	—
—	 A	0,67	103	28	28x28	2170	2,2	1,000	0,026	1,6	0,05	2	2	0,2	2	79,64	0,08	0,33	—
—	 A	0,33	103	28	28x28	2170	2,2	1,000	0,026	1,6	0,05	2	1	1,5	3	79,54	0,04	0,16	—
—	 A	2,42	103	28	28x28	2170	2,2	1,000	0,026	1,6	0,05	2	6	0,2	6	79,50	0,27	1,19	—





























Typ	Rury	L	Pom.	d <sub>n</sub>	Iz. D <sub>w</sub> ×G	Φ <sub>HL</sub>	Φ <sub>HL</sub>	PL <sub>C</sub>	M	Q	w	R	R·L	Σζ	Δp	θ <sub>s</sub>	Δθ <sub>r</sub>	V	Stan
dz.		m		mm	mm	W	kW		kg/s	l/min	m/s	Pa/m	Pa		Pa	°C	K	l	
—	A	0,13	103	28	28x28	2220	2,2	1,000	0,027	1,6	0,06	2	0	1,5	3	79,54	0,01	0,06	—
—	A	1,26	104	28	28x28	2220	2,2	1,000	0,027	1,6	0,06	2	3	0,2	3	79,52	0,14	0,62	—
—	A	0,33	104	28	28x28	2220	2,2	1,000	0,027	1,6	0,06	2	1	1,5	3	79,23	0,04	0,16	—
—	A	2,62	104	28	28x28	2220	2,2	1,000	0,027	1,6	0,06	2	6	0,2	7	79,19	0,31	1,28	—
—	A	0,13	104	28	28x28	2220	2,2	1,000	0,027	1,6	0,06	2	0	1,5	3	79,23	0,01	0,06	—
—	A	1,06	104	28	28x28	2220	2,2	1,000	0,027	1,6	0,06	2	3	0,2	3	79,21	0,12	0,52	—
—	A	0,12	104	28	28x28	2220	2,2	1,000	0,027	1,6	0,06	2	0	0,3	1	79,10	0,01	0,06	—
—	A	0,22	104	28	28x28	2220	2,2	1,000	0,027	1,6	0,06	2	1	0,3	1	78,88	0,02	0,11	—
—	A	0,12	104	28	28x28	2220	2,2	1,000	0,027	1,6	0,06	2	0	0,3	1	79,38	0,01	0,06	—
—	A	0,22	103	28	28x28	2170	2,2	1,000	0,026	1,6	0,05	2	0	0,3	1	79,23	0,03	0,11	—
—	A	0,12	103	28	28x28	2170	2,2	1,000	0,026	1,6	0,05	2	0	0,3	1	79,57	0,01	0,06	—
—	A	0,27	102	28	28x28	3298	3,3	1,000	0,039	2,4	0,08	5	1	0,3	2	79,47	0,02	0,13	—
—	A	0,30	103	28	28x28	2220	2,2	1,000	0,027	1,6	0,06	2	1	1,5	3	79,56	0,04	0,15	—
—	A	0,09	101	28	28x28	4045	4,0	1,000	0,048	3,0	0,10	7	1	1,5	8	79,87	0,01	0,04	—
—	A	2,65	101	28	28x28	4045	4,0	1,000	0,048	3,0	0,10	7	18	0,3	20	79,87	0,16	1,30	—
—	A	0,15	101	28	28x28	2023	2,0	1,000	0,024	1,5	0,05	2	0	78,9	101	79,19	0,02	0,07	—
+ <sup>k</sup> KRYZA				Nastawa: K10 d <sub>n</sub> = 28 mm															
				k <sub>v</sub> = 2,820 m <sup>3</sup> /h															
—	A	4,05	103	28	28x28	2170	2,2	1,000	0,026	1,6	0,05	2	9	0,5	10	79,51	0,48	1,99	—
—	A	0,27	101	28	28x28	2023	2,0	1,000	0,024	1,5	0,05	2	1	237,4	305	79,20	0,03	0,13	—
+ <sup>k</sup> KRYZA				Nastawa: K8 d <sub>n</sub> = 28 mm															
				k <sub>v</sub> = 1,623 m <sup>3</sup> /h															
—	A	4,00	101	28	28x28	2023	2,0	1,000	0,024	1,5	0,05	2	8	0,5	8	79,70	0,51	1,96	—
—	A	0,15	101	28	28x28	2023	2,0	1,000	0,024	1,5	0,05	2	0	80,1	103	79,70	0,02	0,07	—
+ <sup>k</sup> KRYZA				Nastawa: K10 d <sub>n</sub> = 28 mm															
				k <sub>v</sub> = 2,820 m <sup>3</sup> /h															
—	A	4,00	101	28	28x28	2023	2,0	1,000	0,024	1,5	0,05	2	8	0,5	8	79,72	0,51	1,96	—
—	A	4,05	101	28	28x28	2023	2,0	1,000	0,024	1,5	0,05	2	8	0,5	9	79,72	0,52	1,99	—
—	A	1,36	101	28	28x28	4045	4,0	1,000	0,048	3,0	0,10	7	9	0,3	11	79,81	0,08	0,67	—
—	A	0,40	104	28	28x28	2220	2,2	1,000	0,027	1,6	0,06	2	1	1,5	3	79,24	0,04	0,19	—
—	A	2,69	104	28	28x28	2220	2,2	1,000	0,027	1,6	0,06	2	7	0,2	7	79,20	0,32	1,32	—
—	A	0,27	104	28	28x28	2220	2,2	1,000	0,027	1,6	0,06	2	1	0,3	1	78,88	0,03	0,13	—
--	A	0,17	201	28	28x17	3908	3,9	1,000	0,047	2,8	0,10	7	1	0,3	3	59,05	0,01	0,08	—
--	A	0,52	201	28	28x17	7817	7,8	1,000	0,093	5,7	0,19	23	12	0,3	18	59,01	0,01	0,26	—
--	A	0,10	201	28	28x17	3908	3,9	1,000	0,047	2,8	0,10	7	1	0,3	2	58,37	0,01	0,05	—
--	A	0,15	201	28	28x17	3908	3,9	1,000	0,047	2,8	0,10	7	1	1,0	6	58,50	0,01	0,07	—

Typ	Rury	L	Pom.	d <sub>n</sub>	Iz. D <sub>w</sub> ×G	Φ <sub>HL</sub>	Φ <sub>HL</sub>	PL <sub>C</sub>	M	Q	w	R	R·L	Σζ	Δp	θ <sub>s</sub>	Δθ <sub>r</sub>	V	Stan
dz.		m		mm	mm	W	kW		kg/s	l/min	m/s	Pa/m	Pa		Pa	°C	K	l	
--	 A	0,14	201	35	35x17	7817	7,8	1,000	0,093	5,7	0,12	7	1	0,3	3	58,21	0,00	0,11	—
--	 A	0,12	201	28	28x17	3908	3,9	1,000	0,047	2,8	0,10	7	1	1,0	5	59,13	0,01	0,06	—
--	 A	0,20	201	28	28x17	7817	7,8	1,000	0,093	5,7	0,19	23	5	4,0	79	58,99	0,01	0,10	—
--	 A	0,07	201	28	28x17	3908	3,9	1,000	0,047	2,8	0,10	7	0	1,0	5	59,05	0,00	0,03	—
--	 A	3,39	201	28	28x17	7817	7,8	1,000	0,093	5,7	0,19	23	78	0,2	82	58,89	0,10	1,67	—
--	 A	0,12	201	28	28x17	7817	7,8	1,000	0,093	5,7	0,19	23	3	4,0	78	58,80	0,00	0,06	—
--	 A	0,22	201	28	28x17	3908	3,9	1,000	0,047	2,8	0,10	7	1	1,0	6	59,00	0,01	0,11	—
--	 A	0,17	201	28	28x17	3908	3,9	1,000	0,047	2,8	0,10	7	1	4,0	20	58,64	0,01	0,09	—
--	 A	0,12	201	28	28x17	3908	3,9	1,000	0,047	2,8	0,10	7	1	0,3	2	59,07	0,01	0,06	—
--	 A	3,16	201	28	28x17	3908	3,9	1,000	0,047	2,8	0,10	7	22	0,2	23	59,05	0,18	1,55	—
--	 A	0,22	201	28	28x17	3908	3,9	1,000	0,047	2,8	0,10	7	1	0,3	3	59,06	0,01	0,11	—
--	 A	0,20	201	28	28x17	7817	7,8	1,000	0,093	5,7	0,19	23	5	4,0	79	58,96	0,01	0,10	—
--	 A	0,35	201	28	28x17	3908	3,9	1,000	0,047	2,8	0,10	7	2	4,0	21	58,87	0,02	0,17	—
--	 A	0,17	201	28	28x17	7817	7,8	1,000	0,093	5,7	0,19	23	4	4,0	79	58,75	0,01	0,09	—
--	 A	0,49	201	35	35x17	7817	7,8	1,000	0,093	5,7	0,12	7	4	4,0	31	58,79	0,02	0,40	—
--	 A	0,14	201	28	28x17	3908	3,9	1,000	0,047	2,8	0,10	7	1	1,0	6	59,11	0,01	0,07	—
--	 A	0,17	201	28	28x17	3908	3,9	1,000	0,047	2,8	0,10	7	1	1,0	6	59,19	0,01	0,08	—
--	 A	0,12	201	28	28x17	3908	3,9	1,000	0,047	2,8	0,10	7	1	0,3	2	59,00	0,01	0,06	—
--	 A	0,12	201	28	28x17	3908	3,9	1,000	0,047	2,8	0,10	7	1	0,3	2	58,69	0,01	0,06	—
--	 A	0,17	201	28	28x17	3908	3,9	1,000	0,047	2,8	0,10	7	1	0,3	3	58,78	0,01	0,08	—
--	 A	3,11	201	28	28x17	3908	3,9	1,000	0,047	2,8	0,10	7	22	0,2	23	58,68	0,18	1,53	—
--	 A	0,24	201	28	28x17	3908	3,9	1,000	0,047	2,8	0,10	7	2	4,0	20	58,50	0,01	0,12	—
--	 A	0,45	201	28	28x17	3908	3,9	1,000	0,047	2,8	0,10	7	3	0,2	4	58,77	0,03	0,22	—
--	 A	0,39	201	28	28x17	3908	3,9	1,000	0,047	2,8	0,10	7	3	4,0	21	58,74	0,02	0,19	—
--	 A	0,09	201	28	28x17	3908	3,9	1,000	0,047	2,8	0,10	7	1	0,3	2	58,93	0,00	0,04	—
--	 A	0,45	201	28	28x17	1724	1,7	1,000	0,021	1,3	0,04	1	0	4,0	4	59,28	0,06	0,22	—
--	 A	1,02	004	28	28x17	1724	1,7	1,000	0,021	1,3	0,04	1	1	0,2	1	59,41	0,13	0,50	—
--	 A	0,23	004	28	28x17	1724	1,7	1,000	0,021	1,3	0,04	1	0	0,3	1	59,44	0,03	0,12	—
--	 A	0,20	201	28	28x17	3908	3,9	1,000	0,047	2,8	0,10	7	1	1,0	6	59,11	0,01	0,10	—
--	 A	0,19	201	35	35x17	7817	7,8	1,000	0,093	5,7	0,12	7	1	0,3	3	58,82	0,01	0,15	—
--	 A	0,20	201	28	28x17	3908	3,9	1,000	0,047	2,8	0,10	7	1	0,3	3	58,98	0,01	0,10	—
--	 A	3,30	201	35	35x17	7817	7,8	1,000	0,093	5,7	0,12	7	24	0,3	26	58,93	0,11	2,65	—
--	 A	3,85	201	28	28x17	3908	3,9	1,000	0,047	2,8	0,10	7	27	0,2	28	58,86	0,23	1,89	—
--	 A	0,12	201	28	28x17	3908	3,9	1,000	0,047	2,8	0,10	7	1	0,3	2	58,87	0,01	0,06	—
--	 A	0,21	201	35	35x17	7817	7,8	1,000	0,093	5,7	0,12	7	1	0,2	3	58,79	0,01	0,17	—
--	 A	0,22	201	35	35x17	3908	3,9	1,000	0,047	2,8	0,06	2	0	0,3	1	58,85	0,01	0,17	—

Typ	Rury	L	Pom.	d <sub>n</sub>	Iz. D <sub>w</sub> ×G	Φ <sub>HL</sub>	Φ <sub>HL</sub>	PL <sub>C</sub>	M	Q	w	R	R·L	Σζ	Δp	θ <sub>s</sub>	Δθ <sub>r</sub>	V	Stan
dz.		m		mm	mm	W	kW		kg/s	l/min	m/s	Pa/m	Pa		Pa	°C	K	l	
--	 A	3,40	201	35	35x17	3908	3,9	1,000	0,047	2,8	0,06	2	7	0,5	8	58,83	0,23	2,73	—
--	 A	3,30	201	28	28x17	3908	3,9	1,000	0,047	2,8	0,10	7	23	0,5	25	58,92	0,19	1,62	—
--	 A	0,35	201	28	28x17	3908	3,9	1,000	0,047	2,8	0,10	7	2	4,0	21	59,07	0,02	0,17	—
--	 A	0,34	201	28	28x17	3908	3,9	1,000	0,047	2,8	0,10	7	2	0,2	3	59,09	0,02	0,17	—
--	 A	0,22	201	28	28x17	3908	3,9	1,000	0,047	2,8	0,10	7	1	0,3	3	59,10	0,01	0,11	—
--	 A	0,20	201	28	28x17	7817	7,8	1,000	0,093	5,7	0,19	23	5	4,0	79	58,86	0,01	0,10	—
--	 A	3,36	201	28	28x17	7817	7,8	1,000	0,093	5,7	0,19	23	78	0,2	82	58,96	0,10	1,65	—
--	 A	3,60	201	28	28x17	3908	3,9	1,000	0,047	2,8	0,10	7	25	0,5	27	59,04	0,20	1,77	—
--	 A	3,70	201	28	28x17	3908	3,9	1,000	0,047	2,8	0,10	7	26	1,5	33	58,36	0,22	1,82	—
--	 A	3,30	201	35	35x17	7817	7,8	1,000	0,093	5,7	0,12	7	24	0,3	26	58,32	0,11	2,65	—
--	 A	3,54	201	28	28x17	7817	7,8	1,000	0,093	5,7	0,19	23	82	0,2	86	59,06	0,10	1,74	—
--	 A	3,73	201	28	28x17	7817	7,8	1,000	0,093	5,7	0,19	23	86	0,2	90	58,86	0,11	1,83	—
--	 A	0,38	201	28	28x17	7817	7,8	1,000	0,093	5,7	0,19	23	9	0,3	14	58,87	0,01	0,19	—
--	 A	3,35	201	28	28x17	3908	3,9	1,000	0,047	2,8	0,10	7	23	0,5	26	58,91	0,19	1,64	—
--	 A	0,20	201	28	28x17	3908	3,9	1,000	0,047	2,8	0,10	7	1	3,0	15	58,73	0,01	0,10	—
--	 A	2,74	201	28	28x17	3908	3,9	1,000	0,047	2,8	0,10	7	19	0,2	20	58,88	0,16	1,35	—
--	 A	0,12	201	28	28x17	3908	3,9	1,000	0,047	2,8	0,10	7	1	0,3	2	58,89	0,01	0,06	—
--	 A	0,42	201	28	28x17	3908	3,9	1,000	0,047	2,8	0,10	7	3	3,0	17	58,89	0,02	0,20	—
--	 A	0,71	201	28	28x17	3908	3,9	1,000	0,047	2,8	0,10	7	5	0,2	6	58,93	0,04	0,35	—
--	 A	0,27	201	28	28x17	3908	3,9	1,000	0,047	2,8	0,10	7	2	0,3	3	58,95	0,02	0,13	—
--	 A	0,27	201	28	28x17	3908	3,9	1,000	0,047	2,8	0,10	7	2	4,0	21	58,46	0,02	0,13	—
--	 A	3,39	201	28	28x17	3908	3,9	1,000	0,047	2,8	0,10	7	24	0,2	25	58,66	0,20	1,67	—
--	 A	0,17	201	28	28x17	3908	3,9	1,000	0,047	2,8	0,10	7	1	0,3	3	58,67	0,01	0,08	—
--	 A	0,42	201	28	28x17	3908	3,9	1,000	0,047	2,8	0,10	7	3	4,0	22	58,73	0,02	0,20	—
--	 A	0,36	201	28	28x17	3908	3,9	1,000	0,047	2,8	0,10	7	2	0,2	3	58,75	0,02	0,18	—
--	 A	0,27	201	28	28x17	3908	3,9	1,000	0,047	2,8	0,10	7	2	0,3	3	58,77	0,02	0,13	—
--	 A	3,55	201	28	28x17	3908	3,9	1,000	0,047	2,8	0,10	7	25	0,5	27	58,99	0,20	1,74	—
--	 A	3,65	201	28	28x17	3908	3,9	1,000	0,047	2,8	0,10	7	25	1,5	32	58,96	0,21	1,79	—
--	 A	0,90	201	28	28x17	3908	3,9	1,000	0,047	2,8	0,10	7	6	0,5	9	59,06	0,05	0,44	—
--	 A	0,12	201	28	28x17	3908	3,9	1,000	0,047	2,8	0,10	7	1	1,0	5	59,04	0,01	0,06	—
--	 A	3,60	201	28	28x17	3908	3,9	1,000	0,047	2,8	0,10	7	25	0,5	27	58,89	0,21	1,77	—
--	 A	0,14	201	28	28x17	3908	3,9	1,000	0,047	2,8	0,10	7	1	0,3	2	58,90	0,01	0,07	—
--	 A	0,27	201	28	28x17	3908	3,9	1,000	0,047	2,8	0,10	7	2	1,0	7	59,05	0,02	0,13	—
--	 A	0,28	201	28	28x17	3908	3,9	1,000	0,047	2,8	0,10	7	2	0,3	3	58,93	0,02	0,14	—
--	 A	0,26	201	28	28x17	7817	7,8	1,000	0,093	5,7	0,19	23	6	0,2	10	58,88	0,01	0,13	—
—	 A	0,07	201	28	28x28	3908	3,9	1,000	0,047	2,9	0,10	6	0	0,3	2	79,48	0,00	0,03	—

Typ	Rury	L	Pom.	d <sub>n</sub>	Iz. D <sub>w</sub> ×G	Φ <sub>HL</sub>	Φ <sub>HL</sub>	PL <sub>C</sub>	M	Q	w	R	R·L	Σζ	Δp	θ <sub>s</sub>	Δθ <sub>r</sub>	V	Stan
dz.		m		mm	mm	W	kW		kg/s	l/min	m/s	Pa/m	Pa		Pa	°C	K	l	
—	 A	0,76	201	28	28x28	7817	7,8	1,000	0,093	5,8	0,20	22	16	0,3	22	79,73	0,02	0,37	—
—	 A	0,23	201	35	35x28	7817	7,8	1,000	0,093	5,8	0,12	7	2	0,3	4	79,71	0,01	0,19	—
—	 A	0,25	201	28	28x28	3908	3,9	1,000	0,047	2,9	0,10	6	2	1,5	9	79,58	0,02	0,12	—
—	 A	0,22	201	28	28x28	3908	3,9	1,000	0,047	2,9	0,10	6	1	33,4	161	79,62	0,01	0,11	—
+ <sup>k</sup> KRYZA				Nastawa: K12 d <sub>n</sub> = 28 mm															
				k <sub>v</sub> = 4,428 m <sup>3</sup> /h															
—	 A	0,09	201	28	28x28	7817	7,8	1,000	0,093	5,8	0,20	22	2	3,5	69	79,73	0,00	0,04	—
—	 A	0,17	201	28	28x28	3908	3,9	1,000	0,047	2,9	0,10	6	1	1,5	8	79,49	0,01	0,08	—
—	 A	3,33	201	28	28x28	7817	7,8	1,000	0,093	5,8	0,20	22	72	0,2	76	79,59	0,11	1,63	—
—	 A	0,24	201	28	28x28	7817	7,8	1,000	0,093	5,8	0,20	22	5	3,5	72	79,60	0,01	0,12	—
—	 A	0,12	201	28	28x28	3908	3,9	1,000	0,047	2,9	0,10	6	1	16,4	79	79,39	0,01	0,06	—
+ <sup>k</sup> KRYZA				Nastawa: K14 d <sub>n</sub> = 28 mm															
				k <sub>v</sub> = 6,485 m <sup>3</sup> /h															
—	 A	3,57	201	28	28x28	3908	3,9	1,000	0,047	2,9	0,10	6	23	0,2	24	79,41	0,22	1,75	—
—	 A	0,30	201	28	28x28	3908	3,9	1,000	0,047	2,9	0,10	6	2	3,5	19	79,43	0,02	0,15	—
—	 A	0,28	201	35	35x28	7817	7,8	1,000	0,093	5,8	0,12	7	2	3,5	27	79,43	0,01	0,23	—
—	 A	0,22	201	28	28x28	3908	3,9	1,000	0,047	2,9	0,10	6	1	32,2	155	79,52	0,01	0,11	—
+ <sup>k</sup> KRYZA				Nastawa: K12 d <sub>n</sub> = 28 mm															
				k <sub>v</sub> = 4,428 m <sup>3</sup> /h															
—	 A	3,06	201	28	28x28	3908	3,9	1,000	0,047	2,9	0,10	6	20	0,2	21	79,69	0,19	1,50	—
—	 A	0,12	201	28	28x28	3908	3,9	1,000	0,047	2,9	0,10	6	1	32,2	155	79,50	0,01	0,06	—
+ <sup>k</sup> KRYZA				Nastawa: K12 d <sub>n</sub> = 28 mm															
				k <sub>v</sub> = 4,428 m <sup>3</sup> /h															
—	 A	0,20	201	28	28x28	3908	3,9	1,000	0,047	2,9	0,10	6	1	3,5	18	79,71	0,01	0,10	—
—	 A	0,35	201	28	28x28	7817	7,8	1,000	0,093	5,8	0,20	22	8	3,5	75	79,71	0,01	0,17	—
—	 A	0,30	201	28	28x28	7817	7,8	1,000	0,093	5,8	0,20	22	7	3,5	74	79,59	0,01	0,15	—
—	 A	0,23	201	28	28x28	3908	3,9	1,000	0,047	2,9	0,10	6	2	33,4	161	79,59	0,02	0,12	—
+ <sup>k</sup> KRYZA				Nastawa: K12 d <sub>n</sub> = 28 mm															
				k <sub>v</sub> = 4,428 m <sup>3</sup> /h															
—	 A	0,07	201	28	28x28	3908	3,9	1,000	0,047	2,9	0,10	6	0	33,4	160	79,70	0,00	0,03	—
+ <sup>k</sup> KRYZA				Nastawa: K12 d <sub>n</sub> = 28 mm															
				k <sub>v</sub> = 4,428 m <sup>3</sup> /h															
—	 A	0,22	201	28	28x28	3908	3,9	1,000	0,047	2,9	0,10	6	1	0,3	3	79,40	0,01	0,11	—
—	 A	0,22	201	28	28x28	3908	3,9	1,000	0,047	2,9	0,10	6	1	0,3	3	78,88	0,01	0,11	—
—	 A	0,07	201	28	28x28	3908	3,9	1,000	0,047	2,9	0,10	6	0	0,3	2	79,02	0,00	0,03	—
—	 A	2,76	201	28	28x28	3908	3,9	1,000	0,047	2,9	0,10	6	18	0,2	19	79,06	0,17	1,36	—

Typ	Rury	L	Pom.	d <sub>n</sub>	Iz. D <sub>w</sub> ×G	Φ <sub>HL</sub>	Φ <sub>HL</sub>	PL <sub>C</sub>	M	Q	w	R	R·L	Σζ	Δp	θ <sub>s</sub>	Δθ <sub>r</sub>	V	Stan
dz.		m		mm	mm	W	kW		kg/s	l/min	m/s	Pa/m	Pa		Pa	°C	K	l	
—	 A	0,42	201	28	28x28	3908	3,9	1,000	0,047	2,9	0,10	6	3	3,5	19	79,08	0,03	0,21	—
—	 A	0,83	201	28	28x28	3908	3,9	1,000	0,047	2,9	0,10	6	5	0,2	6	79,07	0,05	0,41	—
—	 A	0,18	201	28	28x28	3908	3,9	1,000	0,047	2,9	0,10	6	1	3,5	18	79,08	0,01	0,09	—
—	 A	0,19	201	28	28x28	3908	3,9	1,000	0,047	2,9	0,10	6	1	15,2	74	79,28	0,01	0,09	—
+ <sup>k</sup> KRYZA				Nastawa: K14 d <sub>n</sub> = 28 mm															
				k <sub>v</sub> = 6,485 m <sup>3</sup> /h															
—	 A	0,26	201	28	28x28	1724	1,7	1,000	0,021	1,3	0,04	1	0	3,5	4	79,59	0,04	0,13	—
—	 A	1,18	004	28	28x28	1724	1,7	1,000	0,021	1,3	0,04	1	1	0,2	2	79,55	0,17	0,58	—
—	 A	0,14	004	28	28x28	1724	1,7	1,000	0,021	1,3	0,04	1	0	237,4	221	79,38	0,02	0,07	—
+ <sup>k</sup> KRYZA				Nastawa: K8 d <sub>n</sub> = 28 mm															
				k <sub>v</sub> = 1,623 m <sup>3</sup> /h															
—	 A	0,10	201	28	28x28	3908	3,9	1,000	0,047	2,9	0,10	6	1	9,2	45	79,58	0,01	0,05	—
+ <sup>k</sup> KRYZA				Nastawa: K16 d <sub>n</sub> = 28 mm															
				k <sub>v</sub> = 9,024 m <sup>3</sup> /h															
—	 A	0,09	201	35	35x28	7817	7,8	1,000	0,093	5,8	0,12	7	1	50,8	363	79,71	0,00	0,07	—
+ <sup>k</sup> KRYZA				Nastawa: K14 d <sub>n</sub> = 35 mm															
				k <sub>v</sub> = 5,760 m <sup>3</sup> /h															
—	 A	0,10	201	28	28x28	3908	3,9	1,000	0,047	2,9	0,10	6	1	0,3	2	79,35	0,01	0,05	—
—	 A	3,30	201	35	35x28	7817	7,8	1,000	0,093	5,8	0,12	7	22	0,3	24	79,71	0,13	2,65	—
—	 A	0,22	201	28	28x28	3908	3,9	1,000	0,047	2,9	0,10	6	1	15,2	74	79,19	0,01	0,11	—
+ <sup>k</sup> KRYZA				Nastawa: K14 d <sub>n</sub> = 28 mm															
				k <sub>v</sub> = 6,485 m <sup>3</sup> /h															
—	 A	0,59	201	35	35x28	7817	7,8	1,000	0,093	5,8	0,12	7	4	0,2	5	79,42	0,02	0,48	—
—	 A	0,12	201	35	35x28	3908	3,9	1,000	0,047	2,9	0,06	2	0	0,3	1	79,14	0,01	0,09	—
—	 A	3,40	201	35	35x28	3908	3,9	1,000	0,047	2,9	0,06	2	7	0,5	8	79,39	0,26	2,73	—
—	 A	3,30	201	28	28x28	3908	3,9	1,000	0,047	2,9	0,10	6	21	0,5	24	79,49	0,21	1,62	—
—	 A	0,21	201	28	28x28	3908	3,9	1,000	0,047	2,9	0,10	6	1	3,5	18	79,60	0,01	0,10	—
—	 A	0,44	201	28	28x28	3908	3,9	1,000	0,047	2,9	0,10	6	3	0,2	4	79,59	0,03	0,22	—
—	 A	0,12	201	28	28x28	3908	3,9	1,000	0,047	2,9	0,10	6	1	0,3	2	79,56	0,01	0,06	—
—	 A	0,35	201	28	28x28	7817	7,8	1,000	0,093	5,8	0,20	22	8	3,5	75	79,73	0,01	0,17	—
—	 A	3,06	201	28	28x28	7817	7,8	1,000	0,093	5,8	0,20	22	66	0,2	70	79,72	0,10	1,50	—
—	 A	3,60	201	28	28x28	3908	3,9	1,000	0,047	2,9	0,10	6	23	0,5	26	79,70	0,23	1,77	—
—	 A	0,20	201	28	28x28	3908	3,9	1,000	0,047	2,9	0,10	6	1	0,3	3	79,35	0,01	0,10	—
—	 A	3,70	201	28	28x28	3908	3,9	1,000	0,047	2,9	0,10	6	24	1,0	29	79,58	0,23	1,82	—
—	 A	3,10	201	35	35x28	7817	7,8	1,000	0,093	5,8	0,12	7	21	0,3	23	79,70	0,12	2,49	—
—	 A	3,44	201	28	28x28	7817	7,8	1,000	0,093	5,8	0,20	22	75	0,2	79	79,69	0,11	1,69	—

Typ	Rury	L	Pom.	d <sub>n</sub>	Iz. D <sub>w</sub> ×G	Φ <sub>HL</sub>	Φ <sub>HL</sub>	PL <sub>C</sub>	M	Q	w	R	R·L	Σζ	Δp	θ <sub>s</sub>	Δθ <sub>r</sub>	V	Stan
dz.		m		mm	mm	W	kW		kg/s	l/min	m/s	Pa/m	Pa		Pa	°C	K	l	
—	A	0,25	201	28	28x28	7817	7,8	1,000	0,093	5,8	0,20	22	5	0,3	11	79,51	0,01	0,12	—
—	A	3,35	201	28	28x28	3908	3,9	1,000	0,047	2,9	0,10	6	22	0,5	24	79,49	0,21	1,64	—
—	A	0,35	201	28	28x28	3908	3,9	1,000	0,047	2,9	0,10	6	2	3,0	17	79,39	0,02	0,17	—
—	A	2,44	201	28	28x28	3908	3,9	1,000	0,047	2,9	0,10	6	16	0,2	17	79,37	0,15	1,20	—
—	A	0,22	201	28	28x28	3908	3,9	1,000	0,047	2,9	0,10	6	1	0,3	3	79,22	0,01	0,11	—
—	A	0,27	201	28	28x28	3908	3,9	1,000	0,047	2,9	0,10	6	2	3,0	16	79,39	0,02	0,13	—
—	A	1,01	201	28	28x28	3908	3,9	1,000	0,047	2,9	0,10	6	7	0,2	8	79,38	0,06	0,50	—
—	A	0,17	201	28	28x28	3908	3,9	1,000	0,047	2,9	0,10	6	1	0,3	3	79,31	0,01	0,08	—
—	A	0,42	201	28	28x28	3908	3,9	1,000	0,047	2,9	0,10	6	3	3,5	19	79,07	0,03	0,20	—
—	A	3,09	201	28	28x28	3908	3,9	1,000	0,047	2,9	0,10	6	20	0,2	21	79,04	0,19	1,52	—
—	A	0,27	201	28	28x28	3908	3,9	1,000	0,047	2,9	0,10	6	2	0,3	3	78,85	0,02	0,13	—
—	A	0,27	201	28	28x28	3908	3,9	1,000	0,047	2,9	0,10	6	2	3,5	18	79,07	0,02	0,13	—
—	A	0,66	201	28	28x28	3908	3,9	1,000	0,047	2,9	0,10	6	4	0,2	5	79,05	0,04	0,33	—
—	A	0,17	201	28	28x28	3908	3,9	1,000	0,047	2,9	0,10	6	1	0,3	3	79,01	0,01	0,08	—
—	A	3,55	201	28	28x28	3908	3,9	1,000	0,047	2,9	0,10	6	23	0,5	25	79,62	0,22	1,74	—
—	A	3,65	201	28	28x28	3908	3,9	1,000	0,047	2,9	0,10	6	24	1,0	28	79,58	0,23	1,79	—
—	A	1,10	201	28	28x28	3908	3,9	1,000	0,047	2,9	0,10	6	7	0,5	10	79,59	0,07	0,54	—
—	A	3,60	201	28	28x28	3908	3,9	1,000	0,047	2,9	0,10	6	23	0,5	26	79,46	0,22	1,77	—
—	A	0,22	201	28	28x28	3908	3,9	1,000	0,047	2,9	0,10	6	1	1,5	9	79,46	0,01	0,11	—
—	A	3,65	201	28	28x28	7817	7,8	1,000	0,093	5,8	0,20	22	79	0,2	83	79,58	0,12	1,79	—
—	A	0,23	201	28	28x28	3908	3,9	1,000	0,047	2,9	0,10	6	2	0,3	3	79,24	0,02	0,12	—
—	A	0,17	201	28	28x28	3908	3,9	1,000	0,047	2,9	0,10	6	1	1,5	8	79,49	0,01	0,08	—
—	A	0,19	201	28	28x28	3908	3,9	1,000	0,047	2,9	0,10	6	1	0,3	3	79,28	0,01	0,09	—
—	A	0,54	201	28	28x28	7817	7,8	1,000	0,093	5,8	0,20	22	12	0,2	16	79,51	0,02	0,27	—
⊙	A	0,05	002	28	28x17	2887	2,9	1,000	0,034	2,1	0,07	4	0	0,3	1	59,70	0,00	0,02	—
⊙	A	0,05	002	28	28x17	2887	2,9	1,000	0,034	2,1	0,07	4	0	0,3	1	59,72	0,00	0,02	—
⊙	A	0,05	004	28	28x17	1724	1,7	1,000	0,021	1,3	0,04	1	0	0,3	0	59,22	0,01	0,02	—
⊙	A	0,05	002	28	28x17	2887	2,9	1,000	0,034	2,1	0,07	4	0	0,3	1	59,78	0,00	0,02	—
⊙	A	0,05	101	28	28x17	2023	2,0	1,000	0,024	1,5	0,05	1	0	0,3	0	57,97	0,01	0,02	—
⊙	A	0,05	101	28	28x28	2023	2,0	1,000	0,024	1,5	0,05	1	0	0,3	0	60,47	0,00	0,02	—
⊙	A	0,05	101	28	28x17	2023	2,0	1,000	0,024	1,5	0,05	1	0	0,3	0	58,00	0,01	0,02	—
⊙	A	0,05	104	28	28x17	2220	2,2	1,000	0,027	1,6	0,05	2	0	0,3	1	59,42	0,01	0,02	—
⊙	A	0,05	104	28	28x17	2220	2,2	1,000	0,027	1,6	0,05	2	0	0,3	1	59,45	0,01	0,02	—
⊙	A	0,05	103	28	28x17	2170	2,2	1,000	0,026	1,6	0,05	2	0	0,3	1	59,00	0,01	0,02	—
⊙	A	0,05	103	28	28x17	2170	2,2	1,000	0,026	1,6	0,05	2	0	0,3	1	59,19	0,01	0,02	—
⊙	A	0,05	102	28	28x17	3298	3,3	1,000	0,039	2,4	0,08	5	0	0,3	1	59,60	0,00	0,02	—

Typ	Rury	L	Pom.	d <sub>n</sub>	Iz. D <sub>w</sub> ×G	Φ <sub>HL</sub>	Φ <sub>HL</sub>	PL <sub>C</sub>	M	Q	w	R	R·L	Σζ	Δp	θ <sub>s</sub>	Δθ <sub>r</sub>	V	Stan
dz.		m		mm	mm	W	kW		kg/s	l/min	m/s	Pa/m	Pa		Pa	°C	K	l	
●	🔩 A	0,05	103	28	28x17	2170	2,2	1,000	0,026	1,6	0,05	2	0	0,3	1	59,33	0,01	0,02	—
●	🔩 A	0,05	103	28	28x17	2170	2,2	1,000	0,026	1,6	0,05	2	0	0,3	1	59,12	0,01	0,02	—
●	🔩 A	0,05	104	28	28x17	2220	2,2	1,000	0,027	1,6	0,05	2	0	0,3	1	59,58	0,01	0,02	—
●	🔩 A	0,05	104	28	28x17	2220	2,2	1,000	0,027	1,6	0,05	2	0	0,3	1	59,27	0,01	0,02	—
●	🔩 A	0,05	104	28	28x17	2220	2,2	1,000	0,027	1,6	0,05	2	0	0,3	1	59,40	0,01	0,02	—
●	🔩 A	0,05	001	28	28x28	4015	4,0	1,000	0,048	2,9	0,10	7	0	0,3	2	60,69	0,00	0,02	—
●	🔩 A	0,05	001	28	28x28	4015	4,0	1,000	0,048	2,9	0,10	7	0	0,3	2	60,67	0,00	0,02	—
●	🔩 A	0,05	001	28	28x28	4015	4,0	1,000	0,048	2,9	0,10	7	0	0,3	2	60,70	0,00	0,02	—
●	🔩 A	0,05	002	28	28x17	2887	2,9	1,000	0,034	2,1	0,07	4	0	0,3	1	59,75	0,00	0,02	—
●	🔩 A	0,05	003	28	28x17	2741	2,7	1,000	0,033	2,0	0,07	4	0	0,3	1	58,78	0,00	0,02	—
●	🔩 A	0,05	003	28	28x17	2741	2,7	1,000	0,033	2,0	0,07	4	0	0,3	1	58,83	0,00	0,02	—
●	🔩 A	0,05	001	28	28x28	4015	4,0	1,000	0,048	2,9	0,10	7	0	0,3	2	60,67	0,00	0,02	—
●	🔩 A	0,05	003	28	28x17	2741	2,7	1,000	0,033	2,0	0,07	4	0	0,3	1	58,81	0,00	0,02	—
●	🔩 A	0,05	003	28	28x17	2741	2,7	1,000	0,033	2,0	0,07	4	0	0,3	1	58,74	0,00	0,02	—
●	🔩 A	0,05	002	28	28x17	2887	2,9	1,000	0,034	2,1	0,07	4	0	0,3	1	59,79	0,00	0,02	—
●	🔩 A	0,05	103	28	28x17	2170	2,2	1,000	0,026	1,6	0,05	2	0	0,3	1	59,29	0,01	0,02	—
●	🔩 A	0,05	102	28	28x17	3298	3,3	1,000	0,039	2,4	0,08	5	0	0,3	1	59,69	0,00	0,02	—
●	🔩 A	0,05	102	28	28x17	3298	3,3	1,000	0,039	2,4	0,08	5	0	0,3	1	59,69	0,00	0,02	—
●	🔩 A	0,05	101	28	28x17	2023	2,0	1,000	0,024	1,5	0,05	1	0	0,3	0	57,99	0,01	0,02	—
●	🔩 A	0,05	101	28	28x28	2023	2,0	1,000	0,024	1,5	0,05	1	0	0,3	0	60,48	0,00	0,02	—
●	🔩 A	0,05	101	28	28x17	2023	2,0	1,000	0,024	1,5	0,05	1	0	0,3	0	57,99	0,01	0,02	—
●	🔩 A	0,05	101	28	28x28	2023	2,0	1,000	0,024	1,5	0,05	1	0	0,3	0	60,48	0,00	0,02	—
●	🔩 A	0,05	101	28	28x28	2023	2,0	1,000	0,024	1,5	0,05	1	0	0,3	0	60,50	0,00	0,02	—
●	🔩 A	0,05	201	28	28x17	3908	3,9	1,000	0,047	2,8	0,10	7	0	0,3	2	58,69	0,00	0,02	—
●	🔩 A	0,05	201	28	28x17	3908	3,9	1,000	0,047	2,8	0,10	7	0	0,3	2	58,78	0,00	0,02	—
●	🔩 A	0,05	201	28	28x17	3908	3,9	1,000	0,047	2,8	0,10	7	0	0,3	2	59,00	0,00	0,02	—
●	🔩 A	0,05	201	28	28x17	3908	3,9	1,000	0,047	2,8	0,10	7	0	0,3	2	59,06	0,00	0,02	—
●	🔩 A	0,05	201	28	28x17	3908	3,9	1,000	0,047	2,8	0,10	7	0	0,3	2	58,93	0,00	0,02	—
●	🔩 A	0,05	201	28	28x17	3908	3,9	1,000	0,047	2,8	0,10	7	0	0,3	2	59,10	0,00	0,02	—
●	🔩 A	0,05	201	28	28x17	3908	3,9	1,000	0,047	2,8	0,10	7	0	0,3	2	59,19	0,00	0,02	—
●	🔩 A	0,05	201	28	28x17	3908	3,9	1,000	0,047	2,8	0,10	7	0	0,3	2	58,37	0,00	0,02	—
●	🔩 A	0,05	201	28	28x17	3908	3,9	1,000	0,047	2,8	0,10	7	0	0,3	2	58,50	0,00	0,02	—
●	🔩 A	0,05	201	28	28x17	3908	3,9	1,000	0,047	2,8	0,10	7	0	0,3	2	59,06	0,00	0,02	—
●	🔩 A	0,05	201	28	28x17	3908	3,9	1,000	0,047	2,8	0,10	7	0	0,3	2	58,89	0,00	0,02	—
●	🔩 A	0,05	201	28	28x17	3908	3,9	1,000	0,047	2,8	0,10	7	0	0,3	2	58,95	0,00	0,02	—
●	🔩 A	0,05	201	28	28x17	3908	3,9	1,000	0,047	2,8	0,10	7	0	0,3	2	58,93	0,00	0,02	—

Typ	Rury	L	Pom.	d <sub>n</sub>	Iz. D <sub>w</sub> ×G	Φ <sub>HL</sub>	Φ <sub>HL</sub>	PL <sub>C</sub>	M	Q	w	R	R·L	Σζ	Δp	θ <sub>s</sub>	Δθ <sub>r</sub>	V	Stan
dz.		m		mm	mm	W	kW		kg/s	l/min	m/s	Pa/m	Pa		Pa	°C	K	l	
●	⌘ A	0,05	201	28	28x17	3908	3,9	1,000	0,047	2,8	0,10	7	0	0,3	2	58,77	0,00	0,02	—
●	⌘ A	0,05	104	28	28x17	2220	2,2	1,000	0,027	1,6	0,05	2	0	0,3	1	59,26	0,01	0,02	—
●	⌘ A	0,05	201	28	28x17	3908	3,9	1,000	0,047	2,8	0,10	7	0	0,3	2	59,06	0,00	0,02	—
●	⌘ A	0,05	201	28	28x17	3908	3,9	1,000	0,047	2,8	0,10	7	0	0,3	2	59,00	0,00	0,02	—
●	⌘ A	0,05	201	28	28x17	3908	3,9	1,000	0,047	2,8	0,10	7	0	0,3	2	59,14	0,00	0,02	—
●	⌘ A	0,05	201	28	28x17	3908	3,9	1,000	0,047	2,8	0,10	7	0	0,3	2	58,87	0,00	0,02	—
●	⌘ A	0,05	201	35	35x17	3908	3,9	1,000	0,047	2,8	0,06	2	0	0,3	1	58,85	0,00	0,04	—
●	⌘ A	0,05	201	28	28x17	3908	3,9	1,000	0,047	2,8	0,10	7	0	0,3	2	58,98	0,00	0,02	—
●	⌘ A	0,05	201	28	28x17	3908	3,9	1,000	0,047	2,8	0,10	7	0	0,3	2	59,12	0,00	0,02	—
●	⌘ A	0,05	201	28	28x17	3908	3,9	1,000	0,047	2,8	0,10	7	0	0,3	2	59,07	0,00	0,02	—
●	⌘ A	0,05	201	28	28x17	3908	3,9	1,000	0,047	2,8	0,10	7	0	0,3	2	59,11	0,00	0,02	—
●	⌘ A	0,05	201	28	28x17	3908	3,9	1,000	0,047	2,8	0,10	7	0	0,3	2	59,07	0,00	0,02	—
●	⌘ A	0,05	201	28	28x17	3908	3,9	1,000	0,047	2,8	0,10	7	0	0,3	2	59,04	0,00	0,02	—
●	⌘ A	0,05	201	28	28x17	3908	3,9	1,000	0,047	2,8	0,10	7	0	0,3	2	58,90	0,00	0,02	—
●	⌘ A	0,05	004	28	28x17	1724	1,7	1,000	0,021	1,3	0,04	1	0	0,3	0	59,45	0,01	0,02	—
●	⌘ A	0,05	201	28	28x17	3908	3,9	1,000	0,047	2,8	0,10	7	0	0,3	2	58,67	0,00	0,02	—
●	⌘ A	0,40	001	108	108x32	200678	200,7	1,000	2,397	146,2	0,29	8	3	0,0	3	58,73	0,00	3,40	—
●	⌘ A	0,05	002	28	28x28	2887	2,9	1,000	0,034	2,1	0,07	4	0	6447,8	16831	79,65	0,00	0,02	—
165 11 62-66			Nastawa: 4 d <sub>n</sub> = 15 mm																
			Autorytet = 0,66 k <sub>v</sub> = 0,311 m <sup>3</sup> /h																
●	⌘ A	0,05	002	28	28x28	2887	2,9	1,000	0,034	2,1	0,07	4	0	6186,1	16148	79,68	0,00	0,02	—
165 11 62-66			Nastawa: 4 d <sub>n</sub> = 15 mm																
			Autorytet = 0,63 k <sub>v</sub> = 0,318 m <sup>3</sup> /h																
●	⌘ A	0,05	004	28	28x28	1724	1,7	1,000	0,021	1,3	0,04	1	0	17311,8	16122	79,75	0,01	0,02	—
165 11 62-66			Nastawa: 3 d <sub>n</sub> = 15 mm																
			Autorytet = 0,63 k <sub>v</sub> = 0,190 m <sup>3</sup> /h																
●	⌘ A	0,05	002	28	28x28	2887	2,9	1,000	0,034	2,1	0,07	4	0	6681,8	17444	79,78	0,00	0,02	—
165 11 62-66			Nastawa: 4 d <sub>n</sub> = 15 mm																
			Autorytet = 0,68 k <sub>v</sub> = 0,306 m <sup>3</sup> /h																
●	⌘ A	0,05	101	28	28x28	2023	2,0	1,000	0,024	1,5	0,05	2	0	6504,4	8331	79,14	0,01	0,02	—
165 11 62-66			Nastawa: 4 d <sub>n</sub> = 15 mm																
			Autorytet = 0,67 k <sub>v</sub> = 0,310 m <sup>3</sup> /h																
●	⌘ A	0,05	101	28	28x28	2023	2,0	1,000	0,024	1,5	0,05	2	0	6504,0	8336	79,66	0,01	0,02	—
165 11 62-66			Nastawa: 4 d <sub>n</sub> = 15 mm																
			Autorytet = 0,67 k <sub>v</sub> = 0,310 m <sup>3</sup> /h																
●	⌘ A	0,05	101	28	28x28	2023	2,0	1,000	0,024	1,5	0,05	2	0	6650,3	8518	79,19	0,01	0,02	—













Typ	Rury	L	Pom.	d <sub>n</sub>	Iz. D <sub>w</sub> ×G	Φ <sub>HL</sub>	Φ <sub>HL</sub>	PL <sub>C</sub>	M	Q	w	R	R·L	Σζ	Δp	θ <sub>s</sub>	Δθ <sub>r</sub>	V	Stan
dz.		m		mm	mm	W	kW		kg/s	l/min	m/s	Pa/m	Pa		Pa	°C	K	l	
	165 11 62-66			Nastawa: 4 d <sub>n</sub> = 15 mm															
				Autorytet = 0,68 k <sub>v</sub> = 0,306 m <sup>3</sup> /h															
•	⌘ A	0,05	104	28	28x28	2220	2,2	1,000	0,027	1,6	0,06	2	0	5230,1	8072	79,12	0,01	0,02	—
	165 11 62-66			Nastawa: 4 d <sub>n</sub> = 15 mm															
				Autorytet = 0,65 k <sub>v</sub> = 0,346 m <sup>3</sup> /h															
•	⌘ A	0,05	104	28	28x28	2220	2,2	1,000	0,027	1,6	0,06	2	0	5272,2	8137	79,16	0,01	0,02	—
	165 11 62-66			Nastawa: 4 d <sub>n</sub> = 15 mm															
				Autorytet = 0,71 k <sub>v</sub> = 0,344 m <sup>3</sup> /h															
•	⌘ A	0,05	103	28	28x28	2170	2,2	1,000	0,026	1,6	0,05	2	0	5525,3	8141	79,01	0,01	0,02	—
	165 11 62-66			Nastawa: 4 d <sub>n</sub> = 15 mm															
				Autorytet = 0,71 k <sub>v</sub> = 0,336 m <sup>3</sup> /h															
•	⌘ A	0,05	103	28	28x28	2170	2,2	1,000	0,026	1,6	0,05	2	0	5818,2	8576	79,32	0,01	0,02	—
	165 11 62-66			Nastawa: 4 d <sub>n</sub> = 15 mm															
				Autorytet = 0,69 k <sub>v</sub> = 0,328 m <sup>3</sup> /h															
•	⌘ A	0,05	102	28	28x28	3298	3,3	1,000	0,039	2,4	0,08	5	0	2463,2	8393	79,45	0,00	0,02	—
	165 11 62-66			Nastawa: 5 d <sub>n</sub> = 15 mm															
				Autorytet = 0,68 k <sub>v</sub> = 0,504 m <sup>3</sup> /h															
•	⌘ A	0,05	103	28	28x28	2170	2,2	1,000	0,026	1,6	0,05	2	0	5476,6	8075	79,56	0,01	0,02	—
	165 11 62-66			Nastawa: 4 d <sub>n</sub> = 15 mm															
				Autorytet = 0,65 k <sub>v</sub> = 0,338 m <sup>3</sup> /h															
•	⌘ A	0,05	103	28	28x28	2170	2,2	1,000	0,026	1,6	0,05	2	0	5515,8	8129	79,20	0,01	0,02	—
	165 11 62-66			Nastawa: 4 d <sub>n</sub> = 15 mm															
				Autorytet = 0,65 k <sub>v</sub> = 0,337 m <sup>3</sup> /h															
•	⌘ A	0,05	104	28	28x28	2220	2,2	1,000	0,027	1,6	0,06	2	0	5266,7	8131	79,37	0,01	0,02	—
	165 11 62-66			Nastawa: 4 d <sub>n</sub> = 15 mm															
				Autorytet = 0,65 k <sub>v</sub> = 0,344 m <sup>3</sup> /h															
•	⌘ A	0,05	104	28	28x28	2220	2,2	1,000	0,027	1,6	0,06	2	0	5231,5	8071	78,86	0,01	0,02	—
	165 11 62-66			Nastawa: 4 d <sub>n</sub> = 15 mm															
				Autorytet = 0,65 k <sub>v</sub> = 0,346 m <sup>3</sup> /h															
•	⌘ A	0,05	104	28	28x28	2220	2,2	1,000	0,027	1,6	0,06	2	0	5230,3	8072	79,08	0,01	0,02	—
	165 11 62-66			Nastawa: 4 d <sub>n</sub> = 15 mm															
				Autorytet = 0,65 k <sub>v</sub> = 0,346 m <sup>3</sup> /h															
•	⌘ A	0,05	001	28	28x28	4015	4,0	1,000	0,048	3,0	0,10	7	0	3899,5	19701	79,89	0,00	0,02	—
	165 11 62-66			Nastawa: 4 d <sub>n</sub> = 15 mm															
				Autorytet = 0,77 k <sub>v</sub> = 0,400 m <sup>3</sup> /h															
•	⌘ A	0,05	001	28	28x28	4015	4,0	1,000	0,048	3,0	0,10	7	0	3861,5	19508	79,87	0,00	0,02	—




























































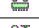
























Typ	Rury	L	Pom.	d <sub>n</sub>	Iz. D <sub>w</sub> ×G	Φ <sub>HL</sub>	Φ <sub>HL</sub>	PL <sub>C</sub>	M	Q	w	R	R·L	Σζ	Δp	θ <sub>s</sub>	Δθ <sub>r</sub>	V	Stan
dz.		m		mm	mm	W	kW		kg/s	l/min	m/s	Pa/m	Pa		Pa	°C	K	l	
	165 11 62-66			Nastawa: 4 d <sub>n</sub> = 15 mm															
				Autorytet = 0,76 k <sub>v</sub> = 0,402 m <sup>3</sup> /h															
•	⌘ A	0,05	001	28	28x28	4015	4,0	1,000	0,048	3,0	0,10	7	0	3857,3	19488	79,90	0,00	0,02	—
	165 11 62-66			Nastawa: 4 d <sub>n</sub> = 15 mm															
				Autorytet = 0,76 k <sub>v</sub> = 0,402 m <sup>3</sup> /h															
•	⌘ A	0,05	002	28	28x28	2887	2,9	1,000	0,034	2,1	0,07	4	0	6222,8	16245	79,73	0,00	0,02	—
	165 11 62-66			Nastawa: 4 d <sub>n</sub> = 15 mm															
				Autorytet = 0,64 k <sub>v</sub> = 0,317 m <sup>3</sup> /h															
•	⌘ A	0,05	003	28	28x28	2741	2,7	1,000	0,033	2,0	0,07	4	0	7006,0	16480	79,47	0,00	0,02	—
	165 11 62-66			Nastawa: 4 d <sub>n</sub> = 15 mm															
				Autorytet = 0,64 k <sub>v</sub> = 0,299 m <sup>3</sup> /h															
•	⌘ A	0,05	003	28	28x28	2741	2,7	1,000	0,033	2,0	0,07	4	0	7038,9	16559	79,57	0,00	0,02	—
	165 11 62-66			Nastawa: 4 d <sub>n</sub> = 15 mm															
				Autorytet = 0,65 k <sub>v</sub> = 0,298 m <sup>3</sup> /h															
•	⌘ A	0,05	001	28	28x28	4015	4,0	1,000	0,048	3,0	0,10	7	0	3757,3	18982	79,86	0,00	0,02	—
	165 11 62-66			Nastawa: 4 d <sub>n</sub> = 15 mm															
				Autorytet = 0,74 k <sub>v</sub> = 0,408 m <sup>3</sup> /h															
•	⌘ A	0,05	003	28	28x28	2741	2,7	1,000	0,033	2,0	0,07	4	0	7325,7	17233	79,53	0,00	0,02	—
	165 11 62-66			Nastawa: 4 d <sub>n</sub> = 15 mm															
				Autorytet = 0,67 k <sub>v</sub> = 0,292 m <sup>3</sup> /h															
•	⌘ A	0,05	003	28	28x28	2741	2,7	1,000	0,033	2,0	0,07	4	0	7270,4	17100	79,40	0,00	0,02	—
	165 11 62-66			Nastawa: 4 d <sub>n</sub> = 15 mm															
				Autorytet = 0,67 k <sub>v</sub> = 0,293 m <sup>3</sup> /h															
•	⌘ A	0,05	002	28	28x28	2887	2,9	1,000	0,034	2,1	0,07	4	0	6472,4	16898	79,80	0,00	0,02	—
	165 11 62-66			Nastawa: 4 d <sub>n</sub> = 15 mm															
				Autorytet = 0,66 k <sub>v</sub> = 0,311 m <sup>3</sup> /h															
•	⌘ A	0,05	103	28	28x28	2170	2,2	1,000	0,026	1,6	0,05	2	0	5515,7	8132	79,49	0,01	0,02	—
	165 11 62-66			Nastawa: 4 d <sub>n</sub> = 15 mm															
				Autorytet = 0,71 k <sub>v</sub> = 0,337 m <sup>3</sup> /h															
•	⌘ A	0,05	102	28	28x28	3298	3,3	1,000	0,039	2,4	0,08	5	0	2492,8	8496	79,59	0,00	0,02	—
	165 11 62-66			Nastawa: 5 d <sub>n</sub> = 15 mm															
				Autorytet = 0,68 k <sub>v</sub> = 0,501 m <sup>3</sup> /h															
•	⌘ A	0,05	102	28	28x28	3298	3,3	1,000	0,039	2,4	0,08	5	0	2462,5	8392	79,59	0,00	0,02	—
	165 11 62-66			Nastawa: 5 d <sub>n</sub> = 15 mm															
				Autorytet = 0,68 k <sub>v</sub> = 0,504 m <sup>3</sup> /h															
•	⌘ A	0,05	101	28	28x28	2023	2,0	1,000	0,024	1,5	0,05	2	0	6590,3	8441	79,17	0,01	0,02	—

Typ	Rury	L	Pom.	d <sub>n</sub>	Iz. D <sub>w</sub> ×G	Φ <sub>HL</sub>	Φ <sub>HL</sub>	PL <sub>C</sub>	M	Q	w	R	R·L	Σζ	Δp	θ <sub>s</sub>	Δθ <sub>r</sub>	V	Stan
dz.		m		mm	mm	W	kW		kg/s	l/min	m/s	Pa/m	Pa		Pa	°C	K	l	
	165 11 62-66			Nastawa: 4 d <sub>n</sub> = 15 mm															
				Autorytet = 0,68 k <sub>v</sub> = 0,308 m <sup>3</sup> /h															
•	⌘ A	0,05	101	28	28x28	2023	2,0	1,000	0,024	1,5	0,05	2	0	6423,1	8232	79,69	0,01	0,02	—
	165 11 62-66			Nastawa: 4 d <sub>n</sub> = 15 mm															
				Autorytet = 0,66 k <sub>v</sub> = 0,312 m <sup>3</sup> /h															
•	⌘ A	0,05	101	28	28x28	2023	2,0	1,000	0,024	1,5	0,05	2	0	6423,5	8228	79,17	0,01	0,02	—
	165 11 62-66			Nastawa: 4 d <sub>n</sub> = 15 mm															
				Autorytet = 0,66 k <sub>v</sub> = 0,312 m <sup>3</sup> /h															
•	⌘ A	0,05	101	28	28x28	2023	2,0	1,000	0,024	1,5	0,05	2	0	6589,5	8446	79,68	0,01	0,02	—
	165 11 62-66			Nastawa: 4 d <sub>n</sub> = 15 mm															
				Autorytet = 0,68 k <sub>v</sub> = 0,308 m <sup>3</sup> /h															
•	⌘ A	0,05	101	28	28x28	2023	2,0	1,000	0,024	1,5	0,05	2	0	6649,6	8523	79,71	0,01	0,02	—
	165 11 62-66			Nastawa: 4 d <sub>n</sub> = 15 mm															
				Autorytet = 0,69 k <sub>v</sub> = 0,306 m <sup>3</sup> /h															
•	⌘ A	0,05	201	28	28x28	3908	3,9	1,000	0,047	2,9	0,10	6	0	1678,5	8025	78,87	0,00	0,02	—
	165 11 62-66			Nastawa: 6 d <sub>n</sub> = 15 mm															
				Autorytet = 0,63 k <sub>v</sub> = 0,610 m <sup>3</sup> /h															
•	⌘ A	0,05	201	28	28x28	3908	3,9	1,000	0,047	2,9	0,10	6	0	1678,2	8025	79,01	0,00	0,02	—
	165 11 62-66			Nastawa: 6 d <sub>n</sub> = 15 mm															
				Autorytet = 0,63 k <sub>v</sub> = 0,610 m <sup>3</sup> /h															
•	⌘ A	0,05	201	28	28x28	3908	3,9	1,000	0,047	2,9	0,10	6	0	1720,9	8233	79,39	0,00	0,02	—
	165 11 62-66			Nastawa: 6 d <sub>n</sub> = 15 mm															
				Autorytet = 0,70 k <sub>v</sub> = 0,602 m <sup>3</sup> /h															
•	⌘ A	0,05	201	28	28x28	3908	3,9	1,000	0,047	2,9	0,10	6	0	1748,5	8366	79,48	0,00	0,02	—
	165 11 62-66			Nastawa: 6 d <sub>n</sub> = 15 mm															
				Autorytet = 0,65 k <sub>v</sub> = 0,598 m <sup>3</sup> /h															
•	⌘ A	0,05	201	28	28x28	3908	3,9	1,000	0,047	2,9	0,10	6	0	1725,4	8253	79,27	0,00	0,02	—
	165 11 62-66			Nastawa: 6 d <sub>n</sub> = 15 mm															
				Autorytet = 0,64 k <sub>v</sub> = 0,602 m <sup>3</sup> /h															
•	⌘ A	0,05	201	28	28x28	3908	3,9	1,000	0,047	2,9	0,10	6	0	1805,5	8639	79,55	0,00	0,02	—
	165 11 62-66			Nastawa: 6 d <sub>n</sub> = 15 mm															
				Autorytet = 0,67 k <sub>v</sub> = 0,588 m <sup>3</sup> /h															
•	⌘ A	0,05	201	28	28x28	3908	3,9	1,000	0,047	2,9	0,10	6	0	1743,8	8346	79,70	0,00	0,02	—
	165 11 62-66			Nastawa: 6 d <sub>n</sub> = 15 mm															
				Autorytet = 0,65 k <sub>v</sub> = 0,599 m <sup>3</sup> /h															
•	⌘ A	0,05	201	28	28x28	3908	3,9	1,000	0,047	2,9	0,10	6	0	1767,2	8454	79,33	0,00	0,02	—

Typ	Rury	L	Pom.	d <sub>n</sub>	Iz. D <sub>w</sub> ×G	Φ <sub>HL</sub>	Φ <sub>HL</sub>	PL <sub>C</sub>	M	Q	w	R	R·L	Σζ	Δp	θ <sub>s</sub>	Δθ <sub>r</sub>	V	Stan
dz.		m		mm	mm	W	kW		kg/s	l/min	m/s	Pa/m	Pa		Pa	°C	K	l	
	165 11 62-66			Nastawa: 6 d <sub>n</sub> = 15 mm															
				Autorytet = 0,66 k <sub>v</sub> = 0,595 m <sup>3</sup> /h															
•	⌘ A	0,05	201	28	28x28	3908	3,9	1,000	0,047	2,9	0,10	6	0	1777,7	8507	79,56	0,00	0,02	—
	165 11 62-66			Nastawa: 6 d <sub>n</sub> = 15 mm															
				Autorytet = 0,66 k <sub>v</sub> = 0,593 m <sup>3</sup> /h															
•	⌘ A	0,05	201	28	28x28	3908	3,9	1,000	0,047	2,9	0,10	6	0	1681,1	8041	79,20	0,00	0,02	—
	165 11 62-66			Nastawa: 6 d <sub>n</sub> = 15 mm															
				Autorytet = 0,63 k <sub>v</sub> = 0,610 m <sup>3</sup> /h															
•	⌘ A	0,05	201	28	28x28	3908	3,9	1,000	0,047	2,9	0,10	6	0	1685,5	8063	79,30	0,00	0,02	—
	165 11 62-66			Nastawa: 6 d <sub>n</sub> = 15 mm															
				Autorytet = 0,63 k <sub>v</sub> = 0,609 m <sup>3</sup> /h															
•	⌘ A	0,05	201	28	28x28	3908	3,9	1,000	0,047	2,9	0,10	6	0	1678,2	8025	79,00	0,00	0,02	—
	165 11 62-66			Nastawa: 6 d <sub>n</sub> = 15 mm															
				Autorytet = 0,63 k <sub>v</sub> = 0,610 m <sup>3</sup> /h															
•	⌘ A	0,05	104	28	28x28	2220	2,2	1,000	0,027	1,6	0,06	2	0	5231,5	8071	78,85	0,01	0,02	—
	165 11 62-66			Nastawa: 4 d <sub>n</sub> = 15 mm															
				Autorytet = 0,65 k <sub>v</sub> = 0,346 m <sup>3</sup> /h															
•	⌘ A	0,05	201	28	28x28	3908	3,9	1,000	0,047	2,9	0,10	6	0	1767,2	8455	79,47	0,00	0,02	—
	165 11 62-66			Nastawa: 6 d <sub>n</sub> = 15 mm															
				Autorytet = 0,66 k <sub>v</sub> = 0,595 m <sup>3</sup> /h															
•	⌘ A	0,05	201	28	28x28	3908	3,9	1,000	0,047	2,9	0,10	6	0	1742,5	8336	79,39	0,00	0,02	—
	165 11 62-66			Nastawa: 6 d <sub>n</sub> = 15 mm															
				Autorytet = 0,65 k <sub>v</sub> = 0,599 m <sup>3</sup> /h															
•	⌘ A	0,05	201	28	28x28	3908	3,9	1,000	0,047	2,9	0,10	6	0	1719,0	8226	79,61	0,00	0,02	—
	165 11 62-66			Nastawa: 6 d <sub>n</sub> = 15 mm															
				Autorytet = 0,64 k <sub>v</sub> = 0,603 m <sup>3</sup> /h															
•	⌘ A	0,05	201	28	28x28	3908	3,9	1,000	0,047	2,9	0,10	6	0	1718,2	8217	79,17	0,00	0,02	—
	165 11 62-66			Nastawa: 6 d <sub>n</sub> = 15 mm															
				Autorytet = 0,70 k <sub>v</sub> = 0,603 m <sup>3</sup> /h															
•	⌘ A	0,05	201	35	35x28	3908	3,9	1,000	0,047	2,9	0,06	2	0	4662,4	8306	79,13	0,00	0,04	—
	165 11 62-66			Nastawa: 6 d <sub>n</sub> = 15 mm															
				Autorytet = 0,70 k <sub>v</sub> = 0,600 m <sup>3</sup> /h															
•	⌘ A	0,05	201	28	28x28	3908	3,9	1,000	0,047	2,9	0,10	6	0	1687,9	8075	79,35	0,00	0,02	—
	165 11 62-66			Nastawa: 6 d <sub>n</sub> = 15 mm															
				Autorytet = 0,63 k <sub>v</sub> = 0,608 m <sup>3</sup> /h															
•	⌘ A	0,05	201	28	28x28	3908	3,9	1,000	0,047	2,9	0,10	6	0	1690,7	8090	79,58	0,00	0,02	—















































































Typ	Rury	L	Pom.	d <sub>n</sub>	Iz. D <sub>w</sub> ×G	Φ <sub>HL</sub>	Φ <sub>HL</sub>	PL <sub>C</sub>	M	Q	w	R	R·L	Σζ	Δp	θ <sub>s</sub>	Δθ <sub>r</sub>	V	Stan
dz.		m		mm	mm	W	kW		kg/s	l/min	m/s	Pa/m	Pa		Pa	°C	K	l	
	165 11 62-66			Nastawa: 6 d <sub>n</sub> = 15 mm															
				Autorytet = 0,63 k <sub>v</sub> = 0,608 m <sup>3</sup> /h															
•	 A	0,05	201	28	28x28	3908	3,9	1,000	0,047	2,9	0,10	6	0	1749,5	8371	79,50	0,00	0,02	—
	165 11 62-66			Nastawa: 6 d <sub>n</sub> = 15 mm															
				Autorytet = 0,65 k <sub>v</sub> = 0,598 m <sup>3</sup> /h															
•	 A	0,05	201	28	28x28	3908	3,9	1,000	0,047	2,9	0,10	6	0	1751,2	8380	79,57	0,00	0,02	—
	165 11 62-66			Nastawa: 6 d <sub>n</sub> = 15 mm															
				Autorytet = 0,65 k <sub>v</sub> = 0,597 m <sup>3</sup> /h															
•	 A	0,05	201	28	28x28	3908	3,9	1,000	0,047	2,9	0,10	6	0	1803,1	8627	79,49	0,00	0,02	—
	165 11 62-66			Nastawa: 6 d <sub>n</sub> = 15 mm															
				Autorytet = 0,67 k <sub>v</sub> = 0,589 m <sup>3</sup> /h															
•	 A	0,05	201	28	28x28	3908	3,9	1,000	0,047	2,9	0,10	6	0	1739,0	8320	79,45	0,00	0,02	—
	165 11 62-66			Nastawa: 6 d <sub>n</sub> = 15 mm															
				Autorytet = 0,65 k <sub>v</sub> = 0,599 m <sup>3</sup> /h															
•	 A	0,05	201	28	28x28	3908	3,9	1,000	0,047	2,9	0,10	6	0	1730,1	8275	79,22	0,00	0,02	—
	165 11 62-66			Nastawa: 6 d <sub>n</sub> = 15 mm															
				Autorytet = 0,65 k <sub>v</sub> = 0,601 m <sup>3</sup> /h															
•	 A	0,05	004	28	28x28	1724	1,7	1,000	0,021	1,3	0,04	1	0	9228,6	8590	79,36	0,01	0,02	—
	165 11 62-66			Nastawa: 3 d <sub>n</sub> = 15 mm															
				Autorytet = 0,67 k <sub>v</sub> = 0,260 m <sup>3</sup> /h															
•	 A	0,05	201	28	28x28	3908	3,9	1,000	0,047	2,9	0,10	6	0	1677,3	8025	79,48	0,00	0,02	—
	165 11 62-66			Nastawa: 6 d <sub>n</sub> = 15 mm															
				Autorytet = 0,63 k <sub>v</sub> = 0,610 m <sup>3</sup> /h															
•	 A	0,05	201	28	28x28	3908	3,9	1,000	0,047	2,9	0,10	6	0	1677,7	8025	79,27	0,00	0,02	—
	165 11 62-66			Nastawa: 6 d <sub>n</sub> = 15 mm															
				Autorytet = 0,63 k <sub>v</sub> = 0,610 m <sup>3</sup> /h															
•	 A	0,05	201	28	28x28	3908	3,9	1,000	0,047	2,9	0,10	6	0	1678,5	8025	78,83	0,00	0,02	—
	165 11 62-66			Nastawa: 6 d <sub>n</sub> = 15 mm															
				Autorytet = 0,63 k <sub>v</sub> = 0,610 m <sup>3</sup> /h															
•	 A	0,40	001	108	108x49	200678	200,7	1,000	2,397	148,0	0,29	8	3	0,0	3	80,00	0,00	3,40	—





























































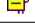











Typ	Typ	Pom.	Symbol	d <sub>n</sub>	Nastawa	Δp <sub>st</sub>	Aut.	Φ <sub>HL</sub>	Φ <sub>HL</sub>	M	Q	k <sub>v</sub>	Δp	Stan
	ar.			mm		kPa		W	kW	kg/s	l/min	m <sup>3</sup> /h	Pa	
		001	165 11 62-66	15	4		0,76	4015	4,0	0,048	3,0	0,402	19486	
		001	165 11 62-66	15	4		0,74	4015	4,0	0,048	3,0	0,408	18980	
		004	165 11 62-66	15	3		0,63	1724	1,7	0,021	1,3	0,190	16122	
		002	165 11 62-66	15	4		0,63	2887	2,9	0,034	2,1	0,318	16147	
		002	165 11 62-66	15	4		0,66	2887	2,9	0,034	2,1	0,311	16830	
		003	165 11 62-66	15	4		0,67	2741	2,7	0,033	2,0	0,293	17100	
		002	165 11 62-66	15	4		0,66	2887	2,9	0,034	2,1	0,311	16897	
		002	165 11 62-66	15	4		0,68	2887	2,9	0,034	2,1	0,306	17443	
		001	165 11 62-66	15	4		0,76	4015	4,0	0,048	3,0	0,402	19506	
		003	165 11 62-66	15	4		0,67	2741	2,7	0,033	2,0	0,292	17232	
		001	165 11 62-66	15	4		0,77	4015	4,0	0,048	3,0	0,400	19699	
		003	165 11 62-66	15	4		0,64	2741	2,7	0,033	2,0	0,299	16479	
		003	165 11 62-66	15	4		0,65	2741	2,7	0,033	2,0	0,298	16558	
		001	1 2100 OX	80				98562	98,6	1,177	71,8	865,000	2	
		001	1 2100 OX	80				98562	98,6	1,177	72,7	865,000	3	
		001	1 2100 OX	80				102117	102,1	1,220	75,3	865,000	3	
		001	1 2100 OX	80				102117	102,1	1,220	74,4	865,000	3	
		002	1 2100 OX	50				35718	35,7	0,427	26,3	220,000	5	
		002	1 2100 OX	50				35718	35,7	0,427	26,0	220,000	5	
		002	1 2100 OX	50				38910	38,9	0,465	28,7	220,000	6	
		002	1 2100 OX	50				38910	38,9	0,465	28,3	220,000	6	
		001	1 2100 OX	65				86699	86,7	1,035	63,9	530,000	5	
		001	1 2100 OX	65				86699	86,7	1,035	63,2	530,000	5	
		001	1 2100 OX	65				90255	90,3	1,078	66,5	530,000	6	
		001	1 2100 OX	65				90255	90,3	1,078	65,8	530,000	6	
		001	ASV-PVRP25IV	20	12	12,00		19069	19,1	0,228	13,9	2,436	11711	
		001	ASV-I-G	32	1,6			19069	19,1	0,228	14,1	4,661	3276	
		002	ASV-I-G	32	0,9			12839	12,8	0,153	9,5	2,965	3669	
		002	ASV-PVRP25IV	20	12	12,00		12839	12,8	0,153	9,4	1,704	10843	
		002	ASV-PVRP25IV	15	12	12,00		9986	10,0	0,119	7,3	1,345	10530	
		002	ASV-I-G	25	1			9986	10,0	0,119	7,4	2,094	4451	
		002	ASV-PVRP25IV	20	12	12,00		12207	12,2	0,146	8,9	1,671	10202	
		002	ASV-I-G	32	0,8			12207	12,2	0,146	9,0	2,683	4050	
		003	ASV-I-G	32	0,75			12257	12,3	0,146	9,0	2,542	4547	
		003	ASV-PVRP25IV	20	12	12,00		12257	12,3	0,146	8,9	1,642	10651	
		003	ASV-I-G	32	0,75			12257	12,3	0,146	9,0	2,542	4547	

























































Typ	Typ	Pom.	Symbol	d <sub>n</sub>	Nastawa	Δp <sub>st</sub>	Aut.	Φ <sub>HL</sub>	Φ <sub>HL</sub>	M	Q	k <sub>v</sub>	Δp	Stan
	ar.			mm		kPa		W	kW	kg/s	l/min	m <sup>3</sup> /h	Pa	
--		002	ASV-PVRP25IV	20	11	11,00		18285	18,3	0,218	13,3	2,316	11914	
—		002	ASV-I-G	32	1,6			18285	18,3	0,218	13,5	4,661	3011	
—		002	ASV-I-G	32	1			13895	13,9	0,166	10,2	3,247	3583	
--		002	ASV-PVRP25IV	20	12	12,00		13895	13,9	0,166	10,1	1,797	11422	
--		001	ASV-PVRP25IV	25	12	12,00		22977	23,0	0,274	16,7	2,893	12053	
—		001	ASV-I-G	32	2,2			22977	23,0	0,274	16,9	5,648	3239	
--		003	ASV-PVRP25IV	20	12	12,00		12257	12,3	0,146	8,9	1,694	9999	
		001	ASV-PVRP25IV	15	12	12,00		11862	11,9	0,142	8,6	1,442	12932	
—		001	ASV-I-G	32	0,8			11862	11,9	0,142	8,7	2,683	3826	
—		001	ASV-I-G	32	0,8			11862	11,9	0,142	8,7	2,683	3826	
--		001	ASV-PVRP25IV	15	12	12,00		11862	11,9	0,142	8,6	1,442	12927	
—		001	KRYZA	28	K6			4015	4,0	0,048	3,0	0,796	4975	
—		001	KRYZA	28	K6			4015	4,0	0,048	3,0	0,796	4974	
—		002	KRYZA	28	K5			2887	2,9	0,034	2,1	0,507	6339	
—		004	KRYZA	28	K4			1724	1,7	0,021	1,3	0,292	6825	
—		002	KRYZA	28	K5			2887	2,9	0,034	2,1	0,507	6338	
—		003	KRYZA	28	K5			2741	2,7	0,033	2,0	0,507	5712	
—		003	KRYZA	28	K5			2741	2,7	0,033	2,0	0,507	5712	
—		003	KRYZA	28	K5			2741	2,7	0,033	2,0	0,507	5711	
—		003	KRYZA	28	K5			2741	2,7	0,033	2,0	0,507	5712	
—		002	KRYZA	28	K5			2887	2,9	0,034	2,1	0,507	6338	
—		002	KRYZA	28	K5			2887	2,9	0,034	2,1	0,507	6339	
—		001	KRYZA	28	K6			4015	4,0	0,048	3,0	0,796	4974	
—		001	KRYZA	28	K6			4015	4,0	0,048	3,0	0,796	4975	
—		002	KRYZA	28	K5			2887	2,9	0,034	2,1	0,507	6339	
		002	165 11 62-66	15	4		0,64	2887	2,9	0,034	2,1	0,317	16244	
		101	165 11 62-66	15	4		0,67	2023	2,0	0,024	1,5	0,310	8335	
		101	165 11 62-66	15	4		0,67	2023	2,0	0,024	1,5	0,310	8331	
		101	165 11 62-66	15	4		0,68	2023	2,0	0,024	1,5	0,306	8518	
		101	165 11 62-66	15	4		0,69	2023	2,0	0,024	1,5	0,306	8523	
		102	165 11 62-66	15	5		0,68	3298	3,3	0,039	2,4	0,501	8494	
		103	165 11 62-66	15	4		0,69	2170	2,2	0,026	1,6	0,328	8575	
		103	165 11 62-66	15	4		0,71	2170	2,2	0,026	1,6	0,336	8141	
		103	165 11 62-66	15	4		0,71	2170	2,2	0,026	1,6	0,337	8131	
		104	165 11 62-66	15	4		0,71	2220	2,2	0,027	1,6	0,344	8136	
		104	165 11 62-66	15	4		0,65	2220	2,2	0,027	1,6	0,346	8071	













































































































Typ	Typ	Pom.	Symbol	d <sub>n</sub>	Nastawa	Δp <sub>st</sub>	Aut.	Φ <sub>HL</sub>	Φ <sub>HL</sub>	M	Q	k <sub>v</sub>	Δp	Stan
	ar.			mm		kPa		W	kW	kg/s	l/min	m <sup>3</sup> /h	Pa	
		104	165 11 62-66	15	4		0,65	2220	2,2	0,027	1,6	0,346	8071	
		101	165 11 62-66	15	4		0,68	2023	2,0	0,024	1,5	0,308	8445	
		102	165 11 62-66	15	5		0,68	3298	3,3	0,039	2,4	0,504	8391	
		104	165 11 62-66	15	4		0,65	2220	2,2	0,027	1,6	0,346	8071	
		104	165 11 62-66	15	4		0,65	2220	2,2	0,027	1,6	0,346	8071	
		104	165 11 62-66	15	4		0,65	2220	2,2	0,027	1,6	0,344	8130	
		103	165 11 62-66	15	4		0,65	2170	2,2	0,026	1,6	0,337	8129	
		103	165 11 62-66	15	4		0,65	2170	2,2	0,026	1,6	0,338	8074	
		102	165 11 62-66	15	5		0,68	3298	3,3	0,039	2,4	0,504	8392	
		101	KRYZA	28	K9			2023	2,0	0,024	1,5	2,172	170	
		101	KRYZA	28	K9			2023	2,0	0,024	1,5	2,172	170	
		102	KRYZA	28	K12			3298	3,3	0,039	2,4	4,428	109	
		103	KRYZA	28	K14			2170	2,2	0,026	1,6	6,484	22	
		103	KRYZA	28	K12			2170	2,2	0,026	1,6	4,428	47	
		104	KRYZA	28	K12			2220	2,2	0,027	1,6	4,428	49	
		102	KRYZA	28	K10			3298	3,3	0,039	2,4	2,820	268	
		101	KRYZA	28	K8			2023	2,0	0,024	1,5	1,623	304	
		101	KRYZA	28	K10			2023	2,0	0,024	1,5	2,820	101	
		101	165 11 62-66	15	4		0,66	2023	2,0	0,024	1,5	0,312	8227	
		101	KRYZA	28	K8			2023	2,0	0,024	1,5	1,623	304	
		101	165 11 62-66	15	4		0,68	2023	2,0	0,024	1,5	0,308	8441	
		101	165 11 62-66	15	4		0,66	2023	2,0	0,024	1,5	0,312	8232	
		101	KRYZA	28	K10			2023	2,0	0,024	1,5	2,820	101	
		201	165 11 62-66	15	6		0,66	3908	3,9	0,047	2,9	0,593	8505	
		201	165 11 62-66	15	6		0,66	3908	3,9	0,047	2,9	0,595	8453	
		201	165 11 62-66	15	6		0,66	3908	3,9	0,047	2,9	0,595	8452	
		201	165 11 62-66	15	6		0,65	3908	3,9	0,047	2,9	0,599	8335	
		201	165 11 62-66	15	6		0,64	3908	3,9	0,047	2,9	0,603	8224	
		201	165 11 62-66	15	6		0,65	3908	3,9	0,047	2,9	0,598	8364	
		201	165 11 62-66	15	6		0,67	3908	3,9	0,047	2,9	0,588	8637	
		201	165 11 62-66	15	6		0,70	3908	3,9	0,047	2,9	0,602	8231	
		201	165 11 62-66	15	6		0,70	3908	3,9	0,047	2,9	0,600	8306	
		201	165 11 62-66	15	6		0,70	3908	3,9	0,047	2,9	0,603	8216	
		201	165 11 62-66	15	6		0,65	3908	3,9	0,047	2,9	0,598	8369	
		201	165 11 62-66	15	6		0,67	3908	3,9	0,047	2,9	0,589	8626	
		201	165 11 62-66	15	6		0,65	3908	3,9	0,047	2,9	0,599	8318	



















































































































































Typ	Typ	Pom.	Symbol	d <sub>n</sub>	Nastawa	Δp <sub>st</sub>	Aut.	Φ <sub>HL</sub>	Φ <sub>HL</sub>	M	Q	k <sub>v</sub>	Δp	Stan
	ar.			mm		kPa		W	kW	kg/s	l/min	m <sup>3</sup> /h	Pa	
		201	165 11 62-66	15	6		0,63	3908	3,9	0,047	2,9	0,610	8023	
		201	165 11 62-66	15	6		0,63	3908	3,9	0,047	2,9	0,610	8039	
		201	165 11 62-66	15	6		0,63	3908	3,9	0,047	2,9	0,609	8061	
		201	165 11 62-66	15	6		0,63	3908	3,9	0,047	2,9	0,610	8023	
		201	165 11 62-66	15	6		0,63	3908	3,9	0,047	2,9	0,610	8023	
		201	165 11 62-66	15	6		0,65	3908	3,9	0,047	2,9	0,597	8378	
		201	165 11 62-66	15	6		0,65	3908	3,9	0,047	2,9	0,599	8344	
		201	165 11 62-66	15	6		0,63	3908	3,9	0,047	2,9	0,610	8023	
		201	165 11 62-66	15	6		0,63	3908	3,9	0,047	2,9	0,610	8023	
		201	165 11 62-66	15	6		0,64	3908	3,9	0,047	2,9	0,602	8251	
		004	165 11 62-66	15	3		0,67	1724	1,7	0,021	1,3	0,260	8590	
		201	165 11 62-66	15	6		0,63	3908	3,9	0,047	2,9	0,608	8088	
		201	165 11 62-66	15	6		0,63	3908	3,9	0,047	2,9	0,608	8073	
		201	165 11 62-66	15	6		0,65	3908	3,9	0,047	2,9	0,601	8273	
		201	165 11 62-66	15	6		0,63	3908	3,9	0,047	2,9	0,610	8023	
		201	KRYZA	28	K12			3908	3,9	0,047	2,9	4,428	152	
		201	KRYZA	28	K12			3908	3,9	0,047	2,9	4,428	152	
		201	KRYZA	28	K12			3908	3,9	0,047	2,9	4,428	152	
		004	KRYZA	28	K8			1724	1,7	0,021	1,3	1,623	221	
		201	KRYZA	28	K14			3908	3,9	0,047	2,9	6,485	71	
		201	KRYZA	28	K12			3908	3,9	0,047	2,9	4,428	152	
		201	KRYZA	28	K12			3908	3,9	0,047	2,9	4,428	152	
		201	KRYZA	28	K16			3908	3,9	0,047	2,9	9,024	37	
		201	KRYZA	35	K14			7817	7,8	0,093	5,8	5,760	360	
		201	KRYZA	28	K14			3908	3,9	0,047	2,9	6,485	71	
		201	KRYZA	28	K14			3908	3,9	0,047	2,9	6,485	71	

Typ	Pom.	Symbol	Wielkość	$\Phi_{pr}$ %	$\Phi_{HL}$ W	$\Phi_{HL}$ kW	$\Phi_p$ W	$\Phi_p$ kW	$\Phi_r$ W	$\Phi_r$ kW	$\Phi_{def}$ W	$\Phi_{def}$ kW	$\theta_s$ °C	$\Delta\theta_r$ K	V l	Stan
	001	CV21S-60	3,000 m	25	4015	4,0	3499	3,5	3855	3,9	-355	-0,4	79,90	19,20	19,80	
	001	CV21S-60	3,000 m	25	4015	4,0	3499	3,5	3852	3,9	-353	-0,4	79,86	19,19	19,80	
	004	CV33-60	0,800 m	50	1724	1,7	1666	1,7	1769	1,8	-103	-0,1	79,74	20,52	7,04	
	002	CV11-60	3,000 m	20	2887	2,9	2602	2,6	2880	2,9	-278	-0,3	79,68	19,96	9,60	
	002	CV11-60	3,000 m	20	2887	2,9	2602	2,6	2879	2,9	-276	-0,3	79,64	19,94	9,60	
	003	CV11-60	3,000 m	25	2741	2,7	2581	2,6	2831	2,8	-251	-0,3	79,40	20,66	9,60	
	002	CV11-60	3,000 m	20	2887	2,9	2602	2,6	2887	2,9	-285	-0,3	79,79	20,00	9,60	
	002	CV11-60	3,000 m	20	2887	2,9	2602	2,6	2886	2,9	-284	-0,3	79,77	20,00	9,60	
	001	CV21S-60	3,000 m	25	4015	4,0	3499	3,5	3852	3,9	-353	-0,4	79,86	19,19	19,80	
	003	CV11-60	3,000 m	25	2741	2,7	2581	2,6	2838	2,8	-258	-0,3	79,53	20,71	9,60	
	001	CV21S-60	3,000 m	25	4015	4,0	3499	3,5	3854	3,9	-355	-0,4	79,89	19,20	19,80	
	003	CV11-60	3,000 m	25	2741	2,7	2581	2,6	2835	2,8	-255	-0,3	79,47	20,69	9,60	
	003	CV11-60	3,000 m	25	2741	2,7	2581	2,6	2840	2,8	-260	-0,3	79,56	20,73	9,60	
	002	CV11-60	3,000 m	20	2887	2,9	2602	2,6	2883	2,9	-281	-0,3	79,72	19,98	9,60	
	101	CV11-60	2,000 m	13	2023	2,0	1949	1,9	1940	1,9	9	0,0	79,65	19,19	6,40	
	101	CV11-60	2,300 m	13	2023	2,0	1949	1,9	2140	2,1	-191	-0,2	79,13	21,16	7,36	
	101	CV11-60	2,300 m	13	2023	2,0	1949	1,9	2142	2,1	-193	-0,2	79,18	21,18	7,36	
	101	CV11-60	2,000 m	13	2023	2,0	1949	1,9	1942	1,9	7	0,0	79,70	19,20	6,40	
	102	CV21S-60	2,600 m	33	3298	3,3	3126	3,1	3282	3,3	-156	-0,2	79,59	19,90	17,16	
	103	CV11-60	2,300 m	20	2170	2,2	2079	2,1	2183	2,2	-103	-0,1	79,31	20,12	7,36	
	103	CV11-60	2,300 m	20	2170	2,2	2079	2,1	2170	2,2	-90	-0,1	79,00	20,00	7,36	
	103	CV11-60	2,300 m	20	2170	2,2	2079	2,1	2190	2,2	-111	-0,1	79,48	20,19	7,36	
	104	CV11-60	2,300 m	17	2220	2,2	2156	2,2	2187	2,2	-32	-0,0	79,15	19,70	7,36	
	104	CV11-60	2,300 m	17	2220	2,2	2156	2,2	2186	2,2	-30	-0,0	79,11	19,69	7,36	
	104	CV11-60	2,300 m	17	2220	2,2	2156	2,2	2174	2,2	-19	-0,0	78,85	19,58	7,36	
	101	CV11-60	2,000 m	13	2023	2,0	1949	1,9	1941	1,9	8	0,0	79,68	19,19	6,40	
	102	CV21S-60	2,600 m	33	3298	3,3	3126	3,1	3282	3,3	-156	-0,2	79,59	19,90	17,16	
	104	CV11-60	2,300 m	17	2220	2,2	2156	2,2	2184	2,2	-28	-0,0	79,08	19,67	7,36	
	104	CV11-60	2,300 m	17	2220	2,2	2156	2,2	2174	2,2	-19	-0,0	78,85	19,59	7,36	
	104	CV11-60	2,300 m	17	2220	2,2	2156	2,2	2196	2,2	-41	-0,0	79,36	19,79	7,36	
	103	CV11-60	2,300 m	20	2170	2,2	2079	2,1	2178	2,2	-99	-0,1	79,20	20,08	7,36	
	103	CV11-60	2,300 m	20	2170	2,2	2079	2,1	2193	2,2	-114	-0,1	79,55	20,22	7,36	
	102	CV21S-60	2,600 m	33	3298	3,3	3126	3,1	3273	3,3	-147	-0,1	79,44	19,84	17,16	
	101	CV11-60	2,300 m	13	2023	2,0	1949	1,9	2141	2,1	-192	-0,2	79,17	21,17	7,36	
	101	CV11-60	2,300 m	13	2023	2,0	1949	1,9	2141	2,1	-192	-0,2	79,16	21,17	7,36	
	101	CV11-60	2,000 m	13	2023	2,0	1949	1,9	1941	1,9	8	0,0	79,68	19,20	6,40	

Typ	Pom.	Symbol	Wielkość	$\Phi_{pr}$ %	$\Phi_{HL}$ W	$\Phi_{HL}$ kW	$\Phi_p$ W	$\Phi_p$ kW	$\Phi_r$ W	$\Phi_r$ kW	$\Phi_{def}$ W	$\Phi_{def}$ kW	$\theta_s$ °C	$\Delta\theta_r$ K	V l	Stan
	201	CV22-60	2,600 m	4	3908	3,9	3857	3,9	4115	4,1	-258	-0,3	79,56	21,06	15,86	
	201	CV11-90	3,000 m	4	3908	3,9	3857	3,9	3990	4,0	-133	-0,1	79,47	20,42	13,50	
	201	CV22-60	2,600 m	4	3908	3,9	3857	3,9	4096	4,1	-240	-0,2	79,33	20,96	15,86	
	201	CV11-90	3,000 m	4	3908	3,9	3857	3,9	3983	4,0	-126	-0,1	79,38	20,38	13,50	
	201	CV11-90	3,000 m	4	3908	3,9	3857	3,9	4000	4,0	-144	-0,1	79,61	20,47	13,50	
	201	CV11-90	3,000 m	4	3908	3,9	3857	3,9	3990	4,0	-133	-0,1	79,47	20,42	13,50	
	201	CV11-90	3,000 m	4	3908	3,9	3857	3,9	3996	4,0	-139	-0,1	79,55	20,45	13,50	
	201	CV11-90	3,000 m	4	3908	3,9	3857	3,9	3983	4,0	-126	-0,1	79,38	20,38	13,50	
	201	CV11-90	3,000 m	4	3908	3,9	3857	3,9	3963	4,0	-106	-0,1	79,13	20,28	13,50	
	201	CV11-90	3,000 m	4	3908	3,9	3857	3,9	3966	4,0	-109	-0,1	79,17	20,29	13,50	
	201	CV11-90	3,000 m	4	3908	3,9	3857	3,9	3992	4,0	-135	-0,1	79,50	20,43	13,50	
	201	CV11-90	3,000 m	4	3908	3,9	3857	3,9	3991	4,0	-134	-0,1	79,49	20,42	13,50	
	201	CV11-90	3,000 m	4	3908	3,9	3857	3,9	3988	4,0	-131	-0,1	79,44	20,40	13,50	
	201	CV11-90	3,000 m	4	3908	3,9	3857	3,9	3990	4,0	-133	-0,1	79,47	20,42	13,50	
	201	CV11-90	3,000 m	4	3908	3,9	3857	3,9	3968	4,0	-112	-0,1	79,20	20,31	13,50	
	201	CV11-90	3,000 m	4	3908	3,9	3857	3,9	3976	4,0	-119	-0,1	79,30	20,35	13,50	
	201	CV11-90	3,000 m	4	3908	3,9	3857	3,9	3940	3,9	-83	-0,1	78,83	20,16	13,50	
	201	CV11-90	3,000 m	4	3908	3,9	3857	3,9	3952	4,0	-96	-0,1	79,00	20,23	13,50	
	201	CV11-90	3,000 m	4	3908	3,9	3857	3,9	3997	4,0	-140	-0,1	79,57	20,45	13,50	
	201	CV11-90	3,000 m	4	3908	3,9	3857	3,9	4007	4,0	-151	-0,2	79,70	20,51	13,50	
	201	CV11-90	3,000 m	4	3908	3,9	3857	3,9	3942	3,9	-86	-0,1	78,87	20,17	13,50	
	201	CV11-90	3,000 m	4	3908	3,9	3857	3,9	3954	4,0	-97	-0,1	79,01	20,23	13,50	
	201	CV11-90	3,000 m	4	3908	3,9	3857	3,9	3973	4,0	-117	-0,1	79,26	20,33	13,50	
	004	CV11-60	1,800 m	50	1724	1,7	1666	1,7	1716	1,7	-50	-0,0	79,35	19,90	5,76	
	201	CV11-90	3,000 m	4	3908	3,9	3857	3,9	3997	4,0	-141	-0,1	79,57	20,46	13,50	
	201	CV11-90	3,000 m	4	3908	3,9	3857	3,9	3980	4,0	-123	-0,1	79,34	20,36	13,50	
	201	CV11-90	3,000 m	4	3908	3,9	3857	3,9	3970	4,0	-113	-0,1	79,22	20,31	13,50	
	201	CV11-90	3,000 m	4	3908	3,9	3857	3,9	3973	4,0	-117	-0,1	79,26	20,33	13,50	

Sys	Typ	Typ	Pom.	d <sub>n</sub>	Nastawa	Δp <sub>st</sub>	Aut.	Φ <sub>HL</sub>	Φ <sub>HL</sub>	M	Q	Q	Q	k <sub>v</sub>	Δp
	dz.	ar.		mm		kPa		W	kW	kg/s	l/s	l/min	m <sup>3</sup> /h	m <sup>3</sup> /h	Pa
			001	15	4		0,76	4015	4,0	0,0480	0,049	3,0	0,178	0,402	19486
			001	15	4		0,74	4015	4,0	0,0480	0,049	3,0	0,178	0,408	18980
			004	15	3		0,63	1724	1,7	0,0206	0,021	1,3	0,076	0,190	16122
			002	15	4		0,63	2887	2,9	0,0345	0,035	2,1	0,128	0,318	16147
			002	15	4		0,66	2887	2,9	0,0345	0,035	2,1	0,128	0,311	16830
			003	15	4		0,67	2741	2,7	0,0327	0,034	2,0	0,121	0,293	17100
			002	15	4		0,66	2887	2,9	0,0345	0,035	2,1	0,128	0,311	16897
			002	15	4		0,68	2887	2,9	0,0345	0,035	2,1	0,128	0,306	17443
			001	15	4		0,76	4015	4,0	0,0480	0,049	3,0	0,178	0,402	19506
			003	15	4		0,67	2741	2,7	0,0327	0,034	2,0	0,121	0,292	17232
			001	15	4		0,77	4015	4,0	0,0480	0,049	3,0	0,178	0,400	19699
			003	15	4		0,64	2741	2,7	0,0327	0,034	2,0	0,121	0,299	16479
			003	15	4		0,65	2741	2,7	0,0327	0,034	2,0	0,121	0,298	16558
			001	20	12	12,00		19069	19,1	0,2277	0,232	13,9	0,834	2,436	11711
			001	32	1,6			19069	19,1	0,2277	0,234	14,1	0,844	4,661	3276
			002	32	0,9			12839	12,8	0,1533	0,158	9,5	0,568	2,965	3669
			002	20	12	12,00		12839	12,8	0,1533	0,156	9,4	0,561	1,704	10843
			002	15	12	12,00		9986	10,0	0,1193	0,121	7,3	0,437	1,345	10530
			002	25	1			9986	10,0	0,1193	0,123	7,4	0,442	2,094	4451
			002	20	12	12,00		12207	12,2	0,1458	0,148	8,9	0,534	1,671	10202
			002	32	0,8			12207	12,2	0,1458	0,150	9,0	0,540	2,683	4050
			003	32	0,75			12257	12,3	0,1464	0,151	9,0	0,542	2,542	4547
			003	20	12	12,00		12257	12,3	0,1464	0,149	8,9	0,536	1,642	10651
			003	32	0,75			12257	12,3	0,1464	0,151	9,0	0,542	2,542	4547
			002	20	11	11,00		18285	18,3	0,2184	0,222	13,3	0,799	2,316	11914
			002	32	1,6			18285	18,3	0,2184	0,225	13,5	0,809	4,661	3011
			002	32	1			13895	13,9	0,1659	0,171	10,2	0,615	3,247	3583
			002	20	12	12,00		13895	13,9	0,1659	0,169	10,1	0,607	1,797	11422
			001	25	12	12,00		22977	23,0	0,2744	0,279	16,7	1,004	2,893	12053
			001	32	2,2			22977	23,0	0,2744	0,282	16,9	1,016	5,648	3239
			003	20	12	12,00		12257	12,3	0,1464	0,149	8,9	0,536	1,694	9999
			001	15	12	12,00		11862	11,9	0,1417	0,144	8,6	0,518	1,442	12932
			001	32	0,8			11862	11,9	0,1417	0,146	8,7	0,525	2,683	3826
			001	32	0,8			11862	11,9	0,1417	0,146	8,7	0,525	2,683	3826
			001	15	12	12,00		11862	11,9	0,1417	0,144	8,6	0,519	1,442	12927
			001	28	K6			4015	4,0	0,0480	0,049	3,0	0,178	0,796	4975

Sys	Typ	Typ	Pom.	d <sub>n</sub>	Nastawa	Δp <sub>st</sub>	Aut.	Φ <sub>HL</sub>	Φ <sub>HL</sub>	M	Q	Q	Q	k <sub>v</sub>	Δp
	dz.	ar.		mm		kPa		W	kW	kg/s	l/s	l/min	m <sup>3</sup> /h	m <sup>3</sup> /h	Pa
	—	+	001	28	K6			4015	4,0	0,0480	0,049	3,0	0,178	0,796	4974
	—	+	002	28	K5			2887	2,9	0,0345	0,035	2,1	0,128	0,507	6339
	—	+	004	28	K4			1724	1,7	0,0206	0,021	1,3	0,076	0,292	6825
	—	+	002	28	K5			2887	2,9	0,0345	0,035	2,1	0,128	0,507	6338
	—	+	003	28	K5			2741	2,7	0,0327	0,034	2,0	0,121	0,507	5712
	—	+	003	28	K5			2741	2,7	0,0327	0,034	2,0	0,121	0,507	5712
	—	+	003	28	K5			2741	2,7	0,0327	0,034	2,0	0,121	0,507	5711
	—	+	003	28	K5			2741	2,7	0,0327	0,034	2,0	0,121	0,507	5712
	—	+	002	28	K5			2887	2,9	0,0345	0,035	2,1	0,128	0,507	6338
	—	+	002	28	K5			2887	2,9	0,0345	0,035	2,1	0,128	0,507	6339
	—	+	001	28	K6			4015	4,0	0,0480	0,049	3,0	0,178	0,796	4974
	—	+	001	28	K6			4015	4,0	0,0480	0,049	3,0	0,178	0,796	4975
	—	+	002	28	K5			2887	2,9	0,0345	0,035	2,1	0,128	0,507	6339
	●	+	002	15	4		0,64	2887	2,9	0,0345	0,035	2,1	0,128	0,317	16244
	●	+	101	15	4		0,67	2023	2,0	0,0242	0,025	1,5	0,089	0,310	8335
	●	+	101	15	4		0,67	2023	2,0	0,0242	0,025	1,5	0,089	0,310	8331
	●	+	101	15	4		0,68	2023	2,0	0,0242	0,025	1,5	0,089	0,306	8518
	●	+	101	15	4		0,69	2023	2,0	0,0242	0,025	1,5	0,089	0,306	8523
	●	+	102	15	5		0,68	3298	3,3	0,0394	0,041	2,4	0,146	0,501	8494
	●	+	103	15	4		0,69	2170	2,2	0,0259	0,027	1,6	0,096	0,328	8575
	●	+	103	15	4		0,71	2170	2,2	0,0259	0,027	1,6	0,096	0,336	8141
	●	+	103	15	4		0,71	2170	2,2	0,0259	0,027	1,6	0,096	0,337	8131
	●	+	104	15	4		0,71	2220	2,2	0,0265	0,027	1,6	0,098	0,344	8136
	●	+	104	15	4		0,65	2220	2,2	0,0265	0,027	1,6	0,098	0,346	8071
	●	+	104	15	4		0,65	2220	2,2	0,0265	0,027	1,6	0,098	0,346	8071
	●	+	101	15	4		0,68	2023	2,0	0,0242	0,025	1,5	0,089	0,308	8445
	●	+	102	15	5		0,68	3298	3,3	0,0394	0,041	2,4	0,146	0,504	8391
	●	+	104	15	4		0,65	2220	2,2	0,0265	0,027	1,6	0,098	0,346	8071
	●	+	104	15	4		0,65	2220	2,2	0,0265	0,027	1,6	0,098	0,346	8071
	●	+	104	15	4		0,65	2220	2,2	0,0265	0,027	1,6	0,098	0,344	8130
	●	+	103	15	4		0,65	2170	2,2	0,0259	0,027	1,6	0,096	0,337	8129
	●	+	103	15	4		0,65	2170	2,2	0,0259	0,027	1,6	0,096	0,338	8074
	●	+	102	15	5		0,68	3298	3,3	0,0394	0,041	2,4	0,146	0,504	8392
	—	+	101	28	K9			2023	2,0	0,0242	0,025	1,5	0,089	2,172	170
	—	+	101	28	K9			2023	2,0	0,0242	0,025	1,5	0,089	2,172	170
	—	+	102	28	K12			3298	3,3	0,0394	0,041	2,4	0,146	4,428	109

Sys	Typ	Typ	Pom.	d <sub>n</sub>	Nastawa	Δp <sub>st</sub>	Aut.	Φ <sub>HL</sub>	Φ <sub>HL</sub>	M	Q	Q	Q	k <sub>v</sub>	Δp
	dz.	ar.		mm		kPa		W	kW	kg/s	l/s	l/min	m <sup>3</sup> /h	m <sup>3</sup> /h	Pa
			103	28	K14			2170	2,2	0,0259	0,027	1,6	0,096	6,484	22
			103	28	K12			2170	2,2	0,0259	0,027	1,6	0,096	4,428	47
			104	28	K12			2220	2,2	0,0265	0,027	1,6	0,098	4,428	49
			102	28	K10			3298	3,3	0,0394	0,041	2,4	0,146	2,820	268
			101	28	K8			2023	2,0	0,0242	0,025	1,5	0,089	1,623	304
			101	28	K10			2023	2,0	0,0242	0,025	1,5	0,089	2,820	101
			101	15	4		0,66	2023	2,0	0,0242	0,025	1,5	0,089	0,312	8227
			101	28	K8			2023	2,0	0,0242	0,025	1,5	0,089	1,623	304
			101	15	4		0,68	2023	2,0	0,0242	0,025	1,5	0,089	0,308	8441
			101	15	4		0,66	2023	2,0	0,0242	0,025	1,5	0,089	0,312	8232
			101	28	K10			2023	2,0	0,0242	0,025	1,5	0,089	2,820	101
			201	15	6		0,66	3908	3,9	0,0467	0,048	2,9	0,173	0,593	8505
			201	15	6		0,66	3908	3,9	0,0467	0,048	2,9	0,173	0,595	8453
			201	15	6		0,66	3908	3,9	0,0467	0,048	2,9	0,173	0,595	8452
			201	15	6		0,65	3908	3,9	0,0467	0,048	2,9	0,173	0,599	8335
			201	15	6		0,64	3908	3,9	0,0467	0,048	2,9	0,173	0,603	8224
			201	15	6		0,65	3908	3,9	0,0467	0,048	2,9	0,173	0,598	8364
			201	15	6		0,67	3908	3,9	0,0467	0,048	2,9	0,173	0,588	8637
			201	15	6		0,70	3908	3,9	0,0467	0,048	2,9	0,173	0,602	8231
			201	15	6		0,70	3908	3,9	0,0467	0,048	2,9	0,173	0,600	8306
			201	15	6		0,70	3908	3,9	0,0467	0,048	2,9	0,173	0,603	8216
			201	15	6		0,65	3908	3,9	0,0467	0,048	2,9	0,173	0,598	8369
			201	15	6		0,67	3908	3,9	0,0467	0,048	2,9	0,173	0,589	8626
			201	15	6		0,65	3908	3,9	0,0467	0,048	2,9	0,173	0,599	8318
			201	15	6		0,63	3908	3,9	0,0467	0,048	2,9	0,173	0,610	8023
			201	15	6		0,63	3908	3,9	0,0467	0,048	2,9	0,173	0,610	8039
			201	15	6		0,63	3908	3,9	0,0467	0,048	2,9	0,173	0,609	8061
			201	15	6		0,63	3908	3,9	0,0467	0,048	2,9	0,173	0,610	8023
			201	15	6		0,63	3908	3,9	0,0467	0,048	2,9	0,173	0,610	8023
			201	15	6		0,65	3908	3,9	0,0467	0,048	2,9	0,173	0,597	8378
			201	15	6		0,65	3908	3,9	0,0467	0,048	2,9	0,173	0,599	8344
			201	15	6		0,63	3908	3,9	0,0467	0,048	2,9	0,173	0,610	8023
			201	15	6		0,63	3908	3,9	0,0467	0,048	2,9	0,173	0,610	8023
			201	15	6		0,64	3908	3,9	0,0467	0,048	2,9	0,173	0,602	8251
			004	15	3		0,67	1724	1,7	0,0206	0,021	1,3	0,076	0,260	8590
			201	15	6		0,63	3908	3,9	0,0467	0,048	2,9	0,173	0,608	8088